



การควบคุมดิซิมอเตอร์ด้วยระบบเซอร์โว

DC SURVO MOTOR

ผู้จัดทำ

น.ส. นุษา	สุนรรณ โมกษ์	32.1153
นายเอกราช	ภคาวร	32.1435

อาจารย์ที่ปรึกษา

อาจารย์สิงห์ทอง พิฒนเศรษฐานนท์

ปริญญาโท สำหรับปริญญาวิศวกรรมศาสตรบัณฑิต

ภาควิชาเทคโนโลยีการวัดคุมทางอุตสาหกรรม

เอกสารนี้เป็นเอกสารที่สงวนไว้สำหรับคณะวิศวกรรมศาสตร์เท่านั้น ไม่อนุญาตให้นำไปใช้ประโยชน์ด้านการค้า

ไม่ว่ากรณีใดๆ ทั้งสิ้น อีกทั้งยังมีไม่ตัดแปลงเนื้อหาและต้องอ้างอิงถึงเจ้าของเอกสารทุกครั้งที่มีการนำไปใช้

สถาบันเทคโนโลยีพระจอมเกล้าเจ้าคุณทหารลาดกระบัง

032694

ภาควิชาเทคโนโลยีการวัดคุมทางอุตสาหกรรม

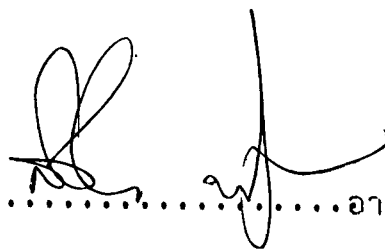
คณะวิศวกรรมศาสตร์ สถาบันเทคโนโลยีพระจอมเกล้าเจ้าคุณทหาร ลาดกระบัง

เรื่อง การควบคุมติซึมอเตอร์ด้วยระบบเซอร์โว

DC SURVO MOTOR

ผู้จัดทำ

- | | | |
|---------------|-------------|---------|
| 1. นางสาวนุษา | สุพรรณโมกษ์ | 32.1153 |
| 2. นายเอกราช | ภคบัวร. | 32.1435 |



.....อาจารย์ที่ปรึกษา

(อาจารย์สิงห์ทอง พัฒนเศรษฐานนท์)

เอกสารนี้เป็นเอกสารที่สงวนไว้สำหรับการใช้งานเพื่อการศึกษาเท่านั้น ไม่อนุญาตให้นำไปใช้ประโยชน์ด้านการค้า

ไม่ว่ากรณีใดๆ ทั้งสิ้น อีกทั้งห้ามมิให้ตัดแปลงเนื้อหาและต้องอ้างอิงถึงเจ้าของเอกสารทุกครั้งที่มีการนำไปใช้

032694

บทคัดย่อ	
Abstract	
บทนำ.....	
บทที่ 1 การควบคุมแบบลูปปิด.....	1
1.1 องค์ประกอบของระบบการควบคุมแบบลูปปิด	1
1.2 ระบบควบคุมแบบเซอร์โว.....	3
บทที่ 2 ตัวควบคุมแบบอนาล็อก.....	7
2.1 ตัวขยายที่มีค่าความผิดพลาด.....	8
2.2 ตัวควบคุมแบบเปิด/ปิด.....	9
2.3 ตัวควบคุมที่เป็นสัดส่วน.....	12
2.4 ตัวควบคุมแบบอินทิเกรตและแบบสัดส่วน-อินทิเกรต...	15
2.4.1 ตัวควบคุมแบบอินทิเกรต	15
2.4.2 ตัวควบคุมแบบสัดส่วน-อินทิเกรต.....	20
2.5 ตัวควบคุมแบบ D และแบบ PID	26
2.5.1 ตัวควบคุมแบบ ดิริเวทิฟ.....	26
2.5.2 ตัวควบคุมแบบ PID.....	30
บทที่ 3 ผลตอบสนองต่อระบบ.....	33
3.1 ทรานสเฟอ์ฟังก์ชันของระบบ.....	33
3.1.1 การควบคุมขบวนการ.....	33
3.1.2 การควบคุมแบบเซอร์โว.....	35
บทที่ 4 วงจรเปลี่ยนแรงดันเป็นกระแส.....	38
บทที่ 5 สเต็ปปีงมอเตอร์และการควบคุม.....	41
รูปวงจรถ่ายใช้ในการทดลอง.....	52
อธิบายการทำงานของวงจรถ่ายใช้ในการทดลอง.....	53
สรุปและวิจารณ์ผลการทดลอง.....	54
กิตติกรรมประกาศ	
เอกสารอ้างอิง	

บทคัดย่อ

ปริญญาโทฉบับนี้เป็นส่วนหนึ่งของเนื้อหาวิชาอิเล็กทรอนิกส์กำลัง (Power Electronics) เกี่ยวกับการประยุกต์การควบคุมแบบเซอร์โว เข้ากับมอเตอร์กระแสตรง (DC Servo Motors) เป็นการควบคุมตำแหน่งการหมุนของมอเตอร์ โดยใช้ตัวควบคุมแบบ PID แล้วเปลี่ยนสัญญาณควบคุมเป็นกระแสโดยใช้วงจรเปลี่ยนแรงดันเป็นกระแส (Voltage to Current Converter) และมีการควบคุมสเตรปมอเตอร์แบบลูปเปิดด้วยวงจรซีเควนเซียล



ABSTRACT

This thesis is a fraction of Power Electronics. Application of Servo Control to Contor DC Motor. It is the Position Control of DC Motor by PID Controller then Convert the Signal Voltage to Current by of Voltage to Current Converter. And Use Sequential Logic Circuit to Control Stepping Motor by means of Open loop Control.



เอกสารนี้เป็นเอกสารที่สงวนไว้สำหรับการใช้งานเพื่อการศึกษาเท่านั้น ไม่อนุญาตให้นำไปใช้ประโยชน์ด้านการค้า
แม้ว่ากรณีใดๆ ทั้งสิ้น อีกทั้งห้ามมิให้ดัดแปลงเนื้อหาและต้องอ้างอิงถึงเจ้าของเอกสารทุกครั้งที่มีการนำไปใช้

บทนำ

ในการควบคุมตำแหน่งมอเตอร์กระแสตรง สามารถใช้การควบคุมแบบเซอร์โวได้ การควบคุมแบบเซอร์โวเป็นการควบคุมแบบระบบปิดที่มีการป้อนกลับ ต่างจากการควบคุมระบบแบบธรรมดา (Process Control) ค่าที่ตั้งไว้ (Set Point) มีการเปลี่ยนแปลงไป ส่วนค่าตัวแปรในระบบ (Process Variable) ก็ขึ้นอยู่กับค่าที่ตั้งไว้ที่แปรค่าไป ในระบบควบคุมมอเตอร์กระแสตรงแบบเซอร์โวนี้ จะให้สัญญาณของตำแหน่งที่ต้องการเป็นค่าที่เราตั้งไว้ และสัญญาณค้กดาจากความต้านทานที่เรียกว่า โฟเทนิโอมิเตอร์ ซึ่งเป็นค่าตัวแปรในระบบแล้วนำมาหาผลต่างที่เกิดขึ้นเพื่อหาค่าความผิดพลาด ซึ่งค่าความผิดพลาดนี้จะถูกส่งไปให้

1. ตัวควบคุมแบบสัดส่วน (Proportional Controller) จะได้ผลเป็นสัญญาณที่เป็นสัดส่วนกับค่าความผิดพลาด
2. ตัวควบคุมแบบอินทิเกรต (Integrator Controller) จะได้ผลเป็นอัตราการเปลี่ยนแปลงของสัญญาณที่เป็นสัดส่วนกับความผิดพลาด
3. ตัวควบคุมแบบดิริเวทิฟ (Derivative Controller) ค่าตัวแปรในระบบจะถูกส่งไปให้ตัวควบคุมแบบดิริเวทิฟ เหตุที่ไม่ใช้ค่าความผิดพลาดเพราะบ่อยครั้งที่ค่าที่ตั้งไว้มีการเปลี่ยนแปลงเป็นขั้น (Step) ทำให้ตัวควบคุมแบบดิริเวทิฟนำสัญญาณทั้งสามตัวมารวมกันก็จะได้สัญญาณควบคุมแบบ PID นำสัญญาณที่ได้เปลี่ยนแรงดันเป็นกระแส ด้วยวงจรเปลี่ยนแรงดันเป็นกระแส (Voltage To Current Converter) ที่ป้อนให้มอเตอร์กระแสตรง

นอกจากนี้ยังมีการควบคุมสแตปปีงมอเตอร์แบบลูปเปิดด้วยวงจรซีเควนเซียลด้วย

บทที่ 1. การควบคุมแบบลูปปิด (Close Loop Control)

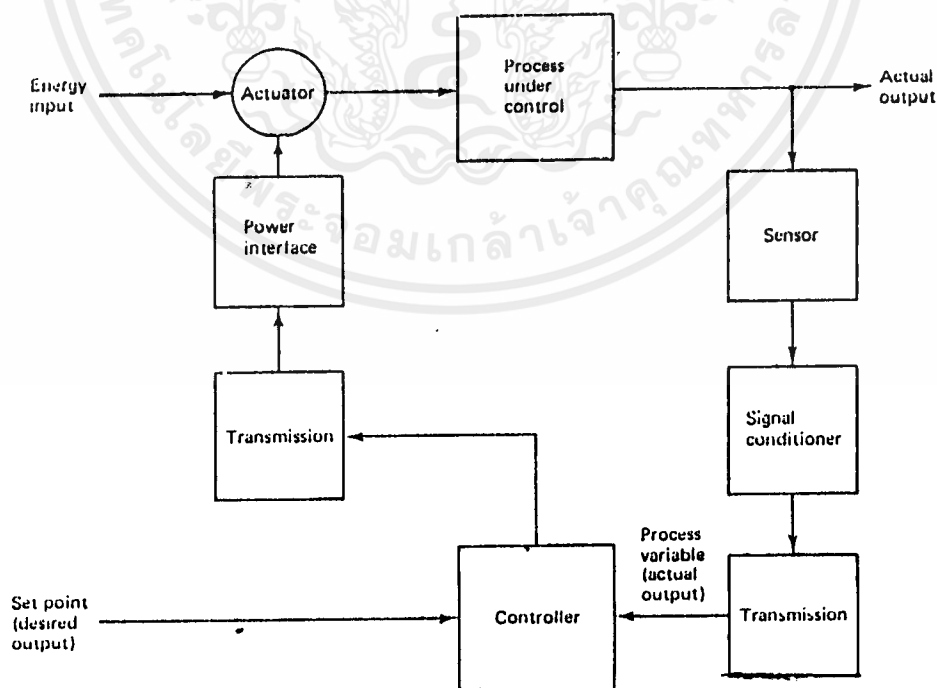
การควบคุมแบบลูปปิดไม่สามารถให้เอาต์พุตตามที่ต้องการจากขบวนการได้ เมื่อมีสิ่งรบกวนเพียงเล็กน้อย เทคนิคจำเป็นบางอย่างนำเอาต์พุตที่ได้เปรียบเทียบกับค่าที่ต้องการและตำแหน่งใหม่ของอุปกรณ์ในการกำจัดค่าความผิดพลาดซึ่งจำเป็นอย่างมากในการควบคุมอัตโนมัติในรูปแบบง่าย ๆ ผู้ใช้งานควรดูที่ เกจ ปรับวาล์ว ความน่าเชื่อถือในการใช้เครื่องมือ และวงจรทางอิเล็กทรอนิกส์

1.1 องค์ประกอบของระบบควบคุมแบบลูปปิด

(Element of a Closed Control System)

ระบบควบคุมแบบลูปปิดแสดงในรูปที่ 1 จะควบคุมอุณหภูมิภายในบ้าน เอาต์พุตที่ได้ถูกควบคุมโดย เซนเซอร์ ตัวควบคุมและตัวส่งผ่าน ตัวควบคุมที่ใช้อาจเป็นคอมพิวเตอร์ วงจรทางอิเล็กทรอนิกส์ เอาต์พุตอีกตัวเรียกว่าค่าที่ตั้งไว้ (Set Point, SP) จะนำมาควบคุมเพื่อชี้ให้เห็นว่าเอาต์พุตที่ต้องการคืออะไร ตัวควบคุมจะนำเอาผลต่างระหว่างอินพุตกับค่าความผิดพลาดว่าเป็นอย่างไร เอาต์พุตในการคำนวณจะนำไปสู่เอาต์พุตที่เป็นจริงในแนวของการตั้งค่าไว้

สัญญาณตัวควบคุมส่งผ่านตัวกระทำ ซึ่งมีหน้าที่ในการควบคุมพลังงานที่นำไปใช้ในขบวนการ การเปลี่ยนแปลงพลังงานในระบบ ทำให้เอาต์พุตที่ได้เปลี่ยนไปด้วยที่ SP ตรงกัน



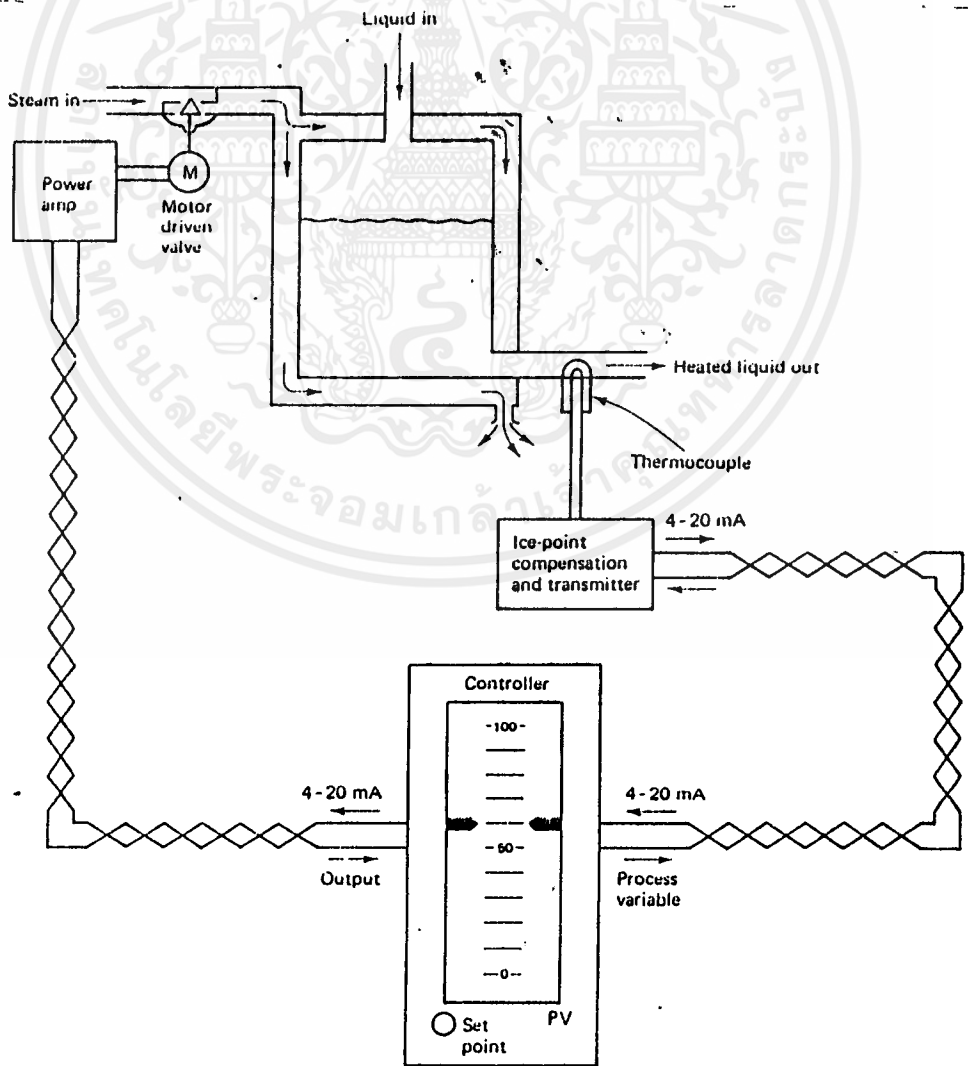
รูปที่ 1 ระบบควบคุมอัตโนมัติ

เอกสารนี้เป็นเอกสารที่สงวนไว้สำหรับการใช้งานเพื่อการศึกษาเท่านั้น ไม่อนุญาตให้นำไปใช้ประโยชน์ด้านการค้า ไม่ว่ากรณีใดๆ ทั้งสิ้น อีกทั้งห้ามมิให้ตัดแปลงเนื้อหาและต้องอ้างอิงถึงเจ้าของเอกสารทุกครั้งที่มีการนำไปใช้

รูปที่ 2 แสดงระบบควบคุมแบบปิดของอุณหภูมิในถังวัดอุณหภูมิโดยเทอร์โมคัปเปิล
 เอาท์พุทที่ได้จากเทอร์โมคัปเปิลมีค่าเป็น 2-3 mV ขึ้นกับอุณหภูมิล้อมรอบการชดเชยจุดเยือก
 แข็ง และการส่งผ่านที่ชดเชยอุณหภูมิล้อมรอบขยายและเลื่อนไปเป็น 3 mV จะเปลี่ยนแปลง
 ตามมาตรฐานการส่งผ่านทางอุตสาหกรรมโดยปรับให้เหมาะสมเมื่อของเหลวมีอุณหภูมิต่ำสุด
 ตัวส่งผ่านจะส่งออกเป็น 4 mV และมากที่สุด 20 mV

กระแสที่ได้จะถูกส่งไปยังตัวควบคุมอยู่ที่ห้องควบคุมส่วนกลางวัดโดยใช้เครื่องมือ
 วัดตัวควบคุมเทียบกับ PV เช่นการวัดอุณหภูมิที่ตำแหน่งของการควบคุม SP เอาท์พุทที่ได้ค่า
 นวนหากระแสการส่งผ่านอีกครั้งหนึ่งให้อยู่ในช่วงระหว่าง 4-20 mA ไปสู่อุปกรณ์ สัญญาณนี้
 จะถูกขยายและใช้ขับมอเตอร์ ซึ่งมอเตอร์จะหมุนและเปลี่ยนตำแหน่งวาล์วหรือปรับการไหล
 ของไอน้ำในส่วนนอก (jacket)

การรบกวนความดันไอน้ำหรืออุณหภูมิ, อุณหภูมิของเหลวที่ไหลเข้าในถังทำให้อุณหภูมิ
 ทางออกเพิ่มขึ้น ความต่างศักย์จะเพิ่มขึ้นทำให้กระแสทางออกเพิ่มขึ้น ผลตอบสนองจะให้
 กระแสเอาท์พุทออกมา ทำให้มอเตอร์ปิดวาล์วกลับไปสู่ส่วนนอก (jacket) และของเหลว
 จะเย็นลง



เอกสารนี้เป็นเอกสารที่สงวนไว้สำหรับการใช้งานเพื่อการศึกษาเท่านั้น ไม่อนุญาตให้นำไปใช้ประโยชน์ด้านการค้า
 รูปที่ 2 การควบคุมแบบปิดของอุณหภูมิในถัง
 ไม่ว่าจะกรณีใด ทั้งสิ้น อีกทั้งห้ามมิให้คัดลอกเนื้อหาและต้องอ้างอิงถึงเจ้าของเอกสารทุกครั้งที่มีการนำไปใช้

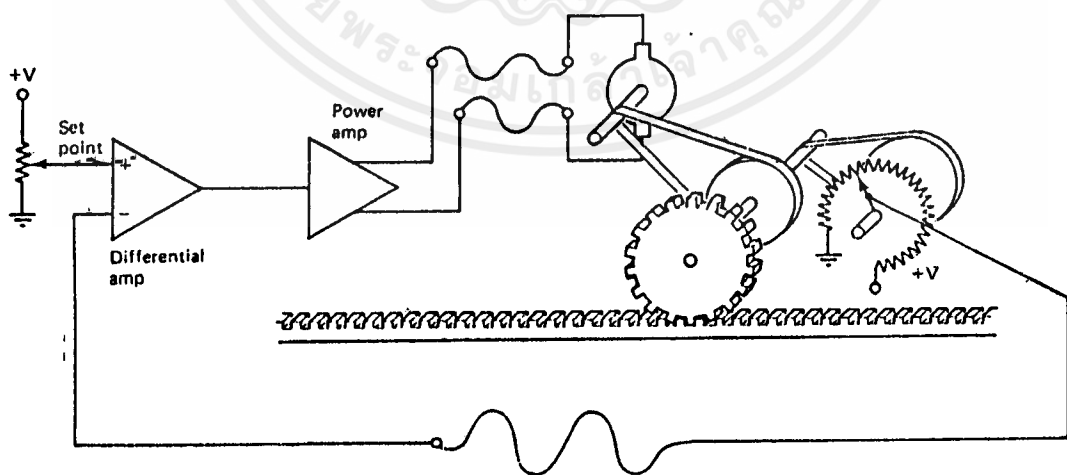
1.2 ระบบควบคุมแบบ SERVO (Servomechanism control System)

ระบบควบคุมแบ่งออกเป็น 2 กลุ่มใหญ่คือ

- การควบคุมขบวนการ
- การควบคุมแบบเซอร์โว

ในตำแหน่งการควบคุมแบบเซอร์โว ความเร็วหรือความเร่งจะเป็นไปตาม SP ปรับผลที่กระทบต่อระบบให้ลดลง นั่นคือมีสิ่งรบกวนเกิดขึ้นกับการเคลื่อนที่ของอุปกรณ์ อย่างไรก็ตามการวิเคราะห์และออกแบบระบบเซอร์โว เป็นการดำเนินการขั้นต้นจากจุดที่มีเอาท์พุทเปลี่ยนแปลงไปใน SP กำหนดให้ไหลลดลงที่ ผลตอบสนองนี้เร็วมากจะเสร็จสมบูรณ์ภายในวินาที หรือน้อยกว่านี้ ดังนั้นการเคลื่อนที่เป็นผลตอบสนองที่เราต้องการของอุปกรณ์แอคทูเอเตอร์ เป็นตัวกำหนดระบบของเซอร์โว สำหรับระบบเล็กๆ แอคทูเอเตอร์เป็นตัวกำหนดระบบของเซอร์โว สำหรับระบบเล็กๆตัวกระทำที่พบบ่อยคือมอเตอร์ทางไฟฟ้า ระบบต่าง ๆ ที่ต้องการกำลังมาก อาจจะใช้ระบบกลแบบไฮดรอลิกเป็นตัวกระทำ

ระบบเซอร์โวที่ควบคุมตำแหน่งแสดงในรูปที่ 3 ตัวกระทำเป็น ดีซีมอเตอร์ ให้แม่เหล็กถาวรไว้ตรงกลางทะลุผ่านเกียร์มอเตอร์จะขับฟันเฟืองการหมุนเกียร์ลงไปอีกครั้งหนึ่งหน้าปิดของโพเทนทิโอมิเตอร์ (เช่นเซอร์) การเคลื่อนที่ของฟันเฟืองจากซ้ายไปขวาจะหมุนโพเทนทิโอมิเตอร์เป็นมุม 300 องศาที่จุดเริ่มต้นโพเทนทิโอมิเตอร์เป็นตัวส่งเช่นเซอร์ของระบบอัตโนมัติ ดังรูปที่ 3 แรงดันของหน้าปิดเป็นตัวชี้ตำแหน่งในการป้อนกลับของวงจรรขยายที่แตกต่างกัน (differential Amplifier) จะแบ่งจากแรงดันที่ตั้งไว้และผลต่าง (ค่าความผิดพลาด) ที่ถูกขยาย ดิฟแอมป์ เป็นตัวควบคุมในรูปที่ 3 กำลังของเอาท์พุทตัวควบคุมเพิ่มขึ้นและขับมอเตอร์



รูปที่ 3 ระบบเซอร์โวควบคุมตำแหน่ง

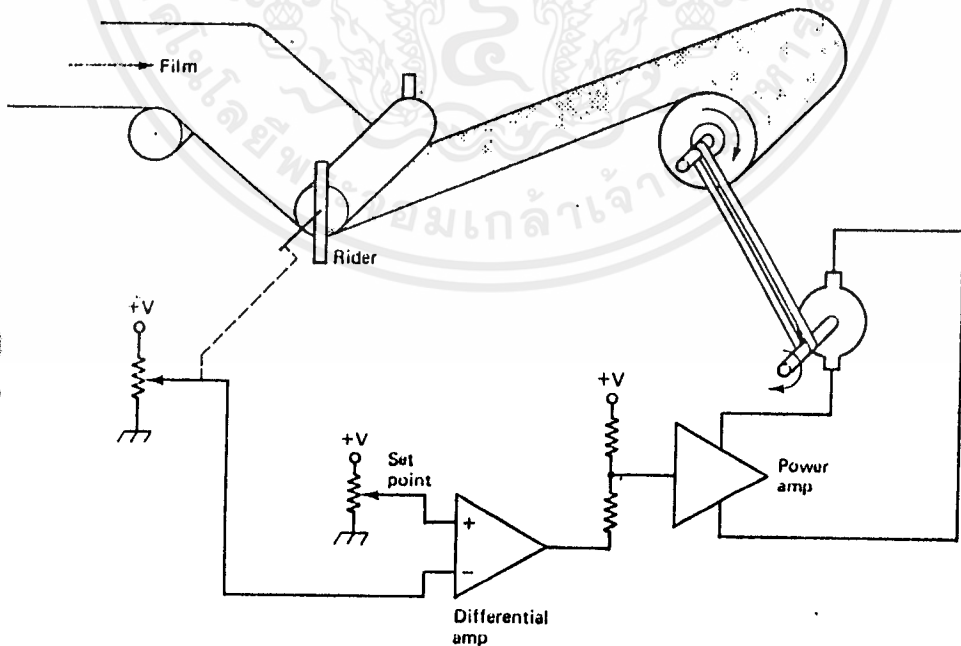
เอกสารนี้เป็นเอกสารที่สงวนไว้สำหรับการใช้งานเพื่อการศึกษาเท่านั้น ไม่อนุญาตให้นำไปใช้ประโยชน์ด้านการค้า
แม้ว่ากรณีใดๆ ทั้งสิ้น อีกทั้งห้ามมิให้ตัดแปลงเนื้อหาและต้องอ้างอิงถึงเจ้าของเอกสารทุกครั้งที่มีการนำไปใช้

เมื่อสัญญาณจากเซนเซอร์หรือโพเทนทิโอมิเตอร์มีค่าเท่ากับสัญญาณจากการควบคุม SP ระบบจะหยุดไม่มีเอาท์พุทจากดิฟแอมป์ ทำให้ไม่มีค่าความผิดพลาด วงจรขยายกำลังไม่มีสัญญาณไปยังมอเตอร์ มอเตอร์จะไม่เคลื่อนที่

ถ้าต้องการเคลื่อนมอเตอร์ไปทางขวา แรงดันที่ตั้งไว้จะต้องเพิ่มขึ้น จะเกิดค่าความผิดพลาดทางบวกของดิฟแอมป์ (Diff Amp) วงจรขยายส่งสัญญาณไปยังมอเตอร์ตามลำดับมอเตอร์เริ่มหมุนตามเข็มนาฬิกา การขับฟันเฟืองก็ตามเข็มนาฬิกา ระบบเคลื่อนที่ไปทางขวา สัญญาณขนาดใหญ่ในการป้อนกลับไปยังดิฟแอมป์มีค่าผิดพลาดน้อยมาก แรงดันถูกป้อนไปยังวงจขยายกำลังและมอเตอร์ และมอเตอร์จะวิ่งช้าๆ ในที่สุดสัญญาณป้อนกลับจะเหมาะสมกับสัญญาณ SP ค่าความผิดพลาดเริ่มลดลงเป็นศูนย์ ระบบจะเข้าสู่การหยุด (vest)

* การควบคุมความเร็วของการควบคุมแบบเซอร์โวรูปที่ 4 เป็นระบบควบคุมความเร็วแบบง่ายจุดประสงค์เพื่อควบคุมแรงดึงให้คงที่บนฟิล์ม (กระดาษ พลาสติก เลื่อผ้า ฯลฯ) การขับมอเตอร์หมุนด้วยความเร็วคงที่ อย่างไรก็ตามจะทำให้แรงดึงเพิ่มขึ้น ขณะที่เส้นผ่านศูนย์กลางของลูกรอกเพิ่มขึ้น

พาหะที่ใช้ขับจะยึดติดกับฟิล์มและมีอิสระที่จะเลี้ยวหมุน ขณะที่ฟิล์มผ่านมาข้างล่างมันมันอาจจะเคลื่อนขึ้นในลักษณะผลตอบสองที่เพิ่มแรงดึงในฟิล์ม หรือลดลงถ้าแรงดึงในฟิล์มช้าลง รูปแบบของรอกที่หมุน และ โพเทนทิโอมิเตอร์ เป็นทรานสดิวเซอร์ แรงดึงเอาท์พุทที่เป็นดิซีโวลท์ เตจ เป็นสัดส่วนไปสู่แรงดึงในฟิล์ม

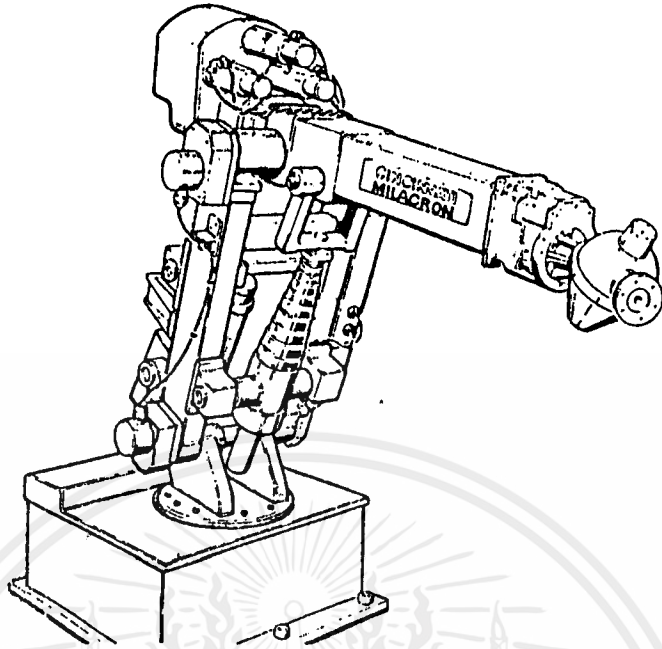


รูปที่ 4 การควบคุมความเร็วของรอก

เมื่อแรงดึงเหมาะสม แรงดันจาก โปเทนทิโอมิเตอร์ ที่หมุนจะพอดีกับแรงดันที่ตั้งไว้ เอาท์พุทของ ดิฟแอมป์ เป็น 0 โวลต์ เป็นผลการแบ่งแรงดันเทียบกราวน์ที่อินพุทของวงจรรขยายกำลังแรงดันจากตัวแบ่งแรงดันขั้ววงจรรขยายกำลังทำให้มอเตอร์วิ่งด้วยความเร็วปกติ ขณะที่ฟิล์มอยู่บนรอกหมุน แรงดึงจะพยายามเพิ่มขึ้นคือจะหมุนทำให้พาหะที่ใช้ขับเริ่มเคลื่อนที่ หน้าปัดโพนทิโอมิเตอร์จะหยุดทำให้อินพุทของดิฟแอมป์(Diff Amp)กลับเฟส มีค่ามากกว่า SP ที่อินพุทไม่กลับเฟส เอาท์พุทของดิฟแอมป์เป็นลบ ทำให้ตัวแบ่งแรงดันที่เทียบกราวน์มีค่าต่ำไปสู่วงจรรขยายกำลังวงจรรขยายกำลังลดกำลังลง มันจะขับมอเตอร์และมอเตอร์วิ่งช้ามากทำให้เป็นการลดแรงดึงของฟิล์ม

การใช้งานของระบบเซอร์โวคือแขนหุ่นทางอุตสาหกรรม ดังรูปที่ 5 แขนของหุ่นยนต์มีการสร้างเปลี่ยนแปลงอย่างสิ้นเชิง ความเร็ว ความถูกต้อง ความเที่ยงตรง ความคงทน ความคล่องตัว เป็นการลงทุนที่ได้ผลผลิตต่ำ ขณะที่เพิ่มเอาท์พุทและคุณภาพ หุ่นยนต์ทางอุตสาหกรรม มีข้อต่อ 3 ข้อต่อหรือมากกว่านี้ ทุกข้อต่อมี 3 ขั้นตอนในการเคลื่อนที่อิสระคือ หมุน ระยะห่าง และการหักมุม โดยให้การเคลื่อนที่เร็ว ราบเรียบ ร่วมกันเป็นอย่างดีของเครื่องมือที่ใช้ ตำแหน่ง ความเร็ว และความเร่งของแต่ละขั้นตอน อิสระต่อกันของแต่ละข้อต่อจะต้องควบคุมในเวลาเดียวกัน

การควบคุมร่วมกันของตำแหน่ง ความเร็ว และความเร่งของขั้นตอนที่อิสระต่อกันทั้งหมด จะสำเร็จไปได้ดี โดยใช้ไมโครโปรเซสเซอร์หรือไมโครคอมพิวเตอร์ เช่นเซอร์โวดำแหน่งใด ๆ เช่น โพนทิโอมิเตอร์ ออฟติคเอนโคดเดอร์ ตัวตรวจจลตราโซนิก ฯลฯ ตำแหน่งและการส่งผ่านข้อความต่าง ๆ นี้ไปยังวงจรรอินเทอร์เฟส มันจะลับเปลี่ยนรูปแบบทางตัวเลขโดยคอมพิวเตอร์ สารระตำแหน่งจะถูกแสดงออกมาโดยรู้เกี่ยวกับตำแหน่งนั้นๆ และตำแหน่งก่อนๆของส่วนนี้ คอมพิวเตอร์สามารถตัดสินใจเกี่ยวกับความเร็วและความเร่ง สมการการควบคุมภายใต้โปรแกรมคอมพิวเตอร์ใช้ความรู้เหล่านี้เป็นข้อมูลในการหาตำแหน่งที่ต้องการของส่วนต่างๆ และคำนวณเอาท์พุทออกมาซึ่งเป็นจำนวนตัวเลขถูกเปลี่ยนโดยการอินเทอร์เฟสครั้งที่ 2 โดยมีแรงดันหรือพลัสไปขับตัวกระทำสำหรับขั้นตอนพิเศษที่อิสระต่อกัน ตัวกระทำอาจจะเป็นสเตรปมอเตอร์ เอซิมอเตอร์ ไฮโดรลิกมอเตอร์หรือกระบอบกสูบ ที่หุ่นยนต์นี้เป็นตัวอย่างที่ดี สำหรับการควบคุมแบบเซอร์โว

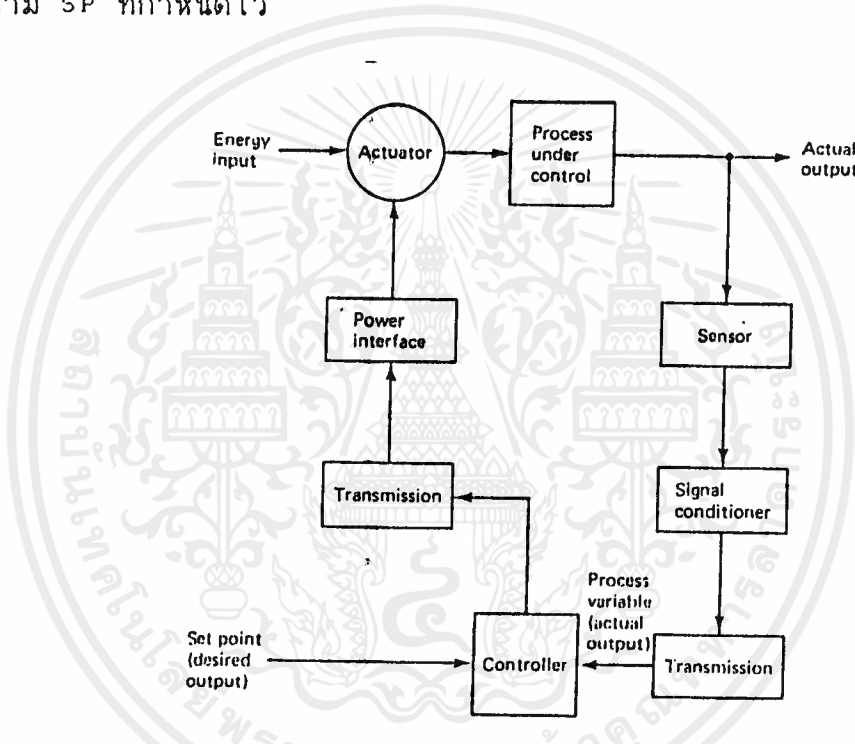


รูปที่ 5 แขนหุ่นยนต์ทางอุตสาหกรรม



บทที่ 2. ตัวควบคุมแบบอนาล็อก (Analog Controllers)

ระบบควบคุมแสดงเป็นบล็อกไดอะแกรมในรูปที่ 6 ในส่วนที่เป็นตัวควบคุมจะมี 2 อินพุต คือ ตัวแรกเป็นพารามิเตอร์ที่เราต้องการเรียกว่า ค่าที่ตั้งไว้ (Set point, SP) และอีกค่าเป็นสัญญาณอินพุตค่าจริงโดยวัดจากเซนเซอร์ขอบเขตของสัญญาณแล้วส่งผ่านมายังตัวควบคุม เรียกว่าตัวแปรของระบบ (Process Variable, PV) เป็นจุดประสงค์ของตัวควบคุมที่ให้สัญญาณ ซึ่งทำให้ความเปลี่ยนแปลงที่จะแก้ไขไปในทางที่จะทำให้ SP และ PV มีค่าเท่ากัน การเปลี่ยนแปลงใดๆใน SP หรือโพลดทำให้เอาท์พุทของตัวควบคุมเปลี่ยนแปลงและแน่นอนว่า PV ก็ต้องเปลี่ยนตาม SP ที่กำหนดไว้



รูปที่ 6 ระบบควบคุมอัตโนมัติ (Automatic Control system)

การวิเคราะห์ทางคณิตศาสตร์ของลูบขบวนการและตัวควบคุม อย่างไรก็ตามตัวควบคุมที่ดีที่สุดสำหรับขบวนการที่กำหนดให้มาและเกณฑ์การออกแบบจะครอบคลุม ไม่ว่าจะเป็นทฤษฎีการควบคุมจะสามารถสร้างและวิเคราะห์วงจรการใช้เทคนิคทางอนาล็อกในสมการตัวควบคุมที่ให้มา

2.1 ตัวขยายที่มีค่าความผิดพลาด (Error Amplifier)

ตัวควบคุมจะมีค่าความผิดพลาดเกิดขึ้นตามสมการ

$$E = SP - PV \quad \dots (1)$$

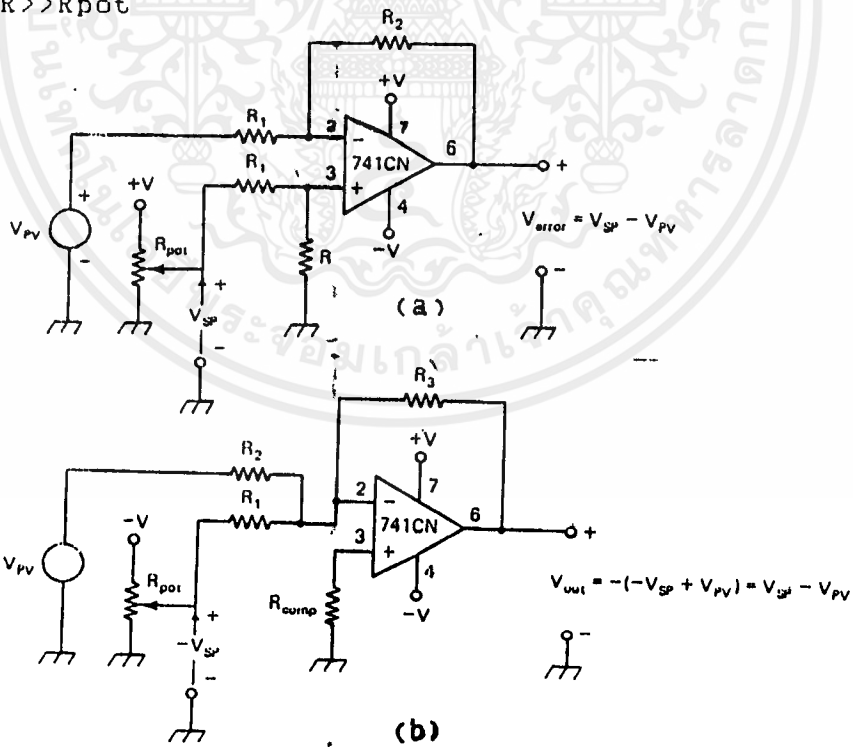
ค่าความผิดพลาดเป็นผลต่างระหว่างค่า SP และ PV เมื่อค่าจริงมีค่าเล็กมากกว่าค่าความผิดพลาดจะเป็นบวก ดังนั้นการเกิดค่าความผิดพลาดเป็นลบ ก็ต่อเมื่อ PV ซึ่งเป็นการป้อนกลับของตัวควบคุมมีค่ามากกว่าค่าที่ต้องการพิจารณาจากรูปที่ 7(a) มีเอาต์พุตเป็น

$$V_{out} = R_2 (v_2 - v_1) / R_1 \quad \dots (2)$$

กำหนดให้ $R = R_1 = R_2$

$$\begin{aligned} v_2 &= V_{sp} \\ v_1 &= V_{pv} \\ V_{out} &= V_{error} = V_{sp} - V_{pv} \quad \dots (3) \end{aligned}$$

โดยที่ $R \gg R_{pot}$



รูปที่ 7 ตัวขยายที่มีค่าความผิดพลาด(Error Amplifier)

- (a) ดิฟเฟอเรนเชียล (b) ตัวรวมแบบกลับเฟส (inverting summer)

เอกสารนี้เป็นเอกสารที่สงวนไว้สำหรับการใช้งานเพื่อการศึกษาเท่านั้น ไม่อนุญาตให้นำไปใช้ประโยชน์ด้านการค้า ไม่ว่าจะกรณีใดๆ ทั้งสิ้น อีกทั้งห้ามมิให้ตัดแปลงเนื้อหาและต้องอ้างอิงถึงเจ้าของเอกสารทุกครั้งที่มีการนำไปใช้



การไหลดค่าที่ต่ำที่สุดของโพเทนทิโอมิเตอร์ (Potentiometer, POT) และปัญหาที่
เกิดขึ้นของกระแสไบอัส รวมทั้งความต้านทานทั้ง 4 ตัว จะต้องระมัดระวังในการป้องกัน
การไบอัส และการเซตออฟ เหมือนกับว่าไม่คิดโหมดทัวๆไปที่เพิ่มขึ้น เมื่อ $V_{sp} = V_{pv}$,
 $V_{error} = 0$

ตัวขยายที่คิดค่าความผิดพลาดตัวที่ 2 เป็นตัวรวมที่กลับเฟสกัน

$$V_{out} = -[(R_3 v_1 / R_1) + (R_3 v_2 / R_2)] \dots (4)$$

ให้ $R = R_1 = R_2 = R_3$

$$v_1 = -V_{sp}$$

$$v_2 = V_{sp}$$

$$V_{out} = V_{error} = V_{sp} - V_{pv} \dots (5)$$

ในการนำไปใช้งานต้องใช้ค่า R ที่ต้องการใช้จริงเป็นค่าลบนี้คือเป็นการเปลี่ยนแปลง
ของตัวขยายที่รวมกันแบบกลับเฟส ซึ่งคล้ายกับตัวขยายที่แตกต่างกัน

$$R \gg R_{out}$$

ตัวต้านทาน R_{out} เป็นการชดเชยที่เกิดจากกระแสไบอัส มีค่าเท่ากับการรวมค่า
ความต้านทานแบบขนานไปยังขั้วที่ตรงกันข้ามที่จุดอ้างอิงซึ่งเป็นผลรวมที่กลับเฟสของขาไอซี
ที่กลับกันโดยแยกแต่ละอินพุทและป้อนกลับ ซึ่งจะยอมให้ปรับความต้านทานแต่ละอินพุทปราศ
จากผลกระทบจากอินพุทอื่นๆแต่จะไม่เป็นจริงสำหรับดิฟแอมป์ (Difference Amplifier)

2.2 ตัวควบคุมแบบเปิด/ปิด (ON/OFF Controller)

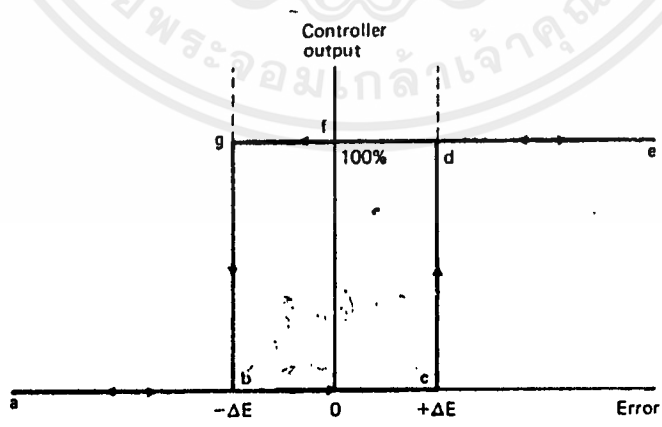
เอาท์พุทของตัวควบคุมแบบเปิด/ปิด เป็นการเปิดและปิดอย่างเต็มที่ ทำให้อุปกรณ์ที่
นำไปใช้กับกำลังไฟฟ้าที่เต็มทีในขบวนการหรือใช้หมุนกำลังไฟฟ้าที่ปิดอยู่

ตัวอย่างที่ใช้กันคือเทอร์โมสแตต (Thermostat) ที่ใช้ในบ้านให้อุณหภูมิลดต่ำลงสู่ SP
แล้วเตาหลอมจะเริ่มทำงาน อุณหภูมิแต่ละครั้งจะเพิ่มขึ้นสูงกว่า SP เทอร์โมสแตตที่เป็นตัว
ควบคุมนี้จะเคลื่อนที่ไปมาในเตาหลอมและปิดอีกครั้งหนึ่ง

ในทางปฏิบัติตัวควบคุมแบบเปิด/ปิด จะเกิดฮิสเทอรีซิส (Hysteresis) หรือแถบสูญเสียน (Deadband) ดังรูปที่ 7 เมื่อค่าความผิดพลาดเป็นค่าลบมากๆ PV จะเพิ่มมากกว่า SP ตัวควบคุมจะปิดในบ้านจะร้อนมาก จากรูปที่จุด a, b และ c ค่าความผิดพลาดจะเป็นบวกเท่านั้น จึงจะทำให้ตัวควบคุมที่สวิทช์ได้ 100 % เป็นการกระทำอย่างต่อเนื่องคือค่าที่สวิทช์จริงต้องต่ำกว่าค่า SP ในทำนองเดียวกันบ้านจะหนาวและเตาหลอม จะเปิดค่าความผิดพลาดจะเป็นศูนย์ที่จุด f ตัวควบคุมไม่ปิดทันที เอาท์พุทของตัวควบคุมจะปิดทันทีหลังจากค่าความผิดพลาดที่ตกลงเป็นลบอย่างแน่นอนที่จุด g และ b

ฮิสเทอรีซิสเป็นค่าความผิดพลาดไม่คงสภาพศูนย์ไว้ที่จุดต่ำสุดจะเปลี่ยนแปลงระหว่าง $\pm \Delta E$ ซึ่งวัฏจักรของตัวควบคุมจากเปิดเต็มที่และปิดอีกครั้ง และเปิดเต็มที่อีกครั้ง และปิดเต็มที่อีกครั้งไปเรื่อยๆ...

ค่าความผิดพลาดที่เหลืออยู่ระหว่าง $+\Delta E$ ถึง $-\Delta E$ จะลดฮิสเทอรีซิสลงได้อย่างไรถ้าปราศจากฮิสเทอรีซิส PV จะลดลงน้อยมากทำให้ค่าความผิดพลาดเป็นบวก ตัวควบคุมจะเปิดเต็มที่ แต่ขบวนการที่มีความจุพลังงานไว้ต่ำๆ จะเป็นการเพิ่ม PV เพียงเล็กน้อยทำให้ค่าความผิดพลาดเป็นลบตัวควบคุมจะปิดทันทีการลดลงของ PV มีผลต่อวัฏจักรการเกิดอีกครั้งขึ้นความเร็ว การเปลี่ยนแปลงระยะต่างๆอย่างเต็มที่ของเอาท์พุทตัวควบคุมเกิดความเสียหายกับอุปกรณ์ทางแรงกลไฟฟ้าและองค์ประกอบระบบอื่นๆ ฮิสเทอรีซิสจะลดซึ่งฮิสเทอรีซิสจำเป็นมากที่ใช้ในการป้องกันวัฏจักร อย่างไรก็ตามต้องมีค่าต่ำสุดที่รักษาระดับค่าความผิดพลาดที่ค้างไว้เพียงเล็กน้อย

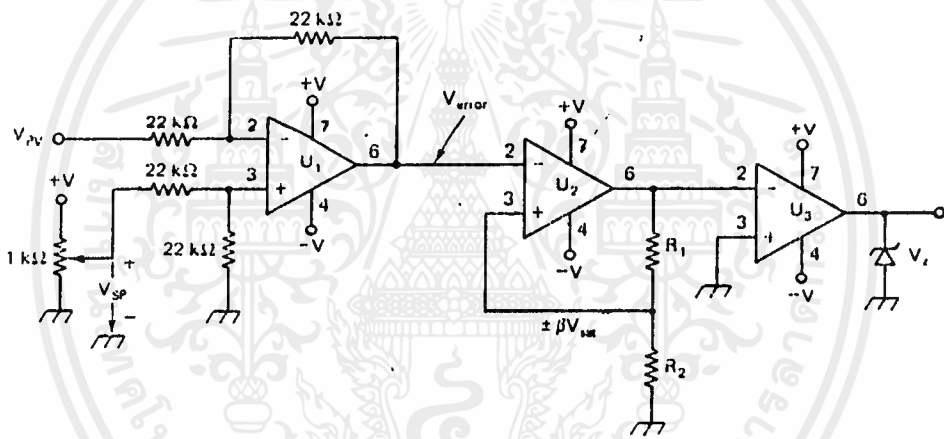


รูปที่ 8 กราฟแสดงฮิสเทอรีซิสของการส่งผ่านตัวควบคุมแบบเปิด-ปิด (ON-OFF controller's transfer curve showing hysteresis)

เอกสารนี้เป็นเอกสารที่สงวนไว้สำหรับการใช้งานเพื่อการศึกษาเท่านั้น ไม่อนุญาตให้นำไปใช้ประโยชน์ด้านการค้า ไม่ว่ากรณีใดๆ ทั้งสิ้น อีกทั้งห้ามมิให้ตัดแปลงเนื้อหาและต้องอ้างอิงถึงเจ้าของเอกสารทุกครั้งที่มีการนำไปใช้

ตัวควบคุมแบบเปิด/ปิดทางอิเล็กทรอนิกส์ดังรูปที่ 9 ออปแอมป์ U_1 มีค่าความผิดพลาดของเอาต์พุตไปขับอินพุตของ U_2 สิ่งเกิดที่ U_2 ไม่ใช่ตัวขยายแบบไม่กลับเฟส แต่เป็นตัวเปรียบเทียบกับค่าฮิสเทอรีซิสเมื่อค่าความผิดพลาดเอาต์พุตของ U_2 จะมีสถานะเป็นบวก R_1, R_2 แบ่งแรงดันโดยปัจจัยของ β มีแรงดันอ้างอิงเป็นบวก

$$\beta = R_2 / (R_1 + R_2) \dots (6)$$



รูปที่ 9 ตัวควบคุมแบบเปิด/ปิด (On/off Controller)

เมื่อแรงดันมีค่าความผิดพลาดเป็นบวกมากกว่า βV_{sat} จะสวิทช์ U_2 เป็นลบ แรงดันอ้างอิงที่ขา 3 ของ U_2 สวิทช์ไปยัง $+\beta V_{sat}$

ค่าความผิดพลาดจะต้องเป็นค่าลบมากกว่า $-\beta V_{sat}$ ก่อนที่ U_2 จะสวิทช์ไปยังเอาต์พุตที่เป็นบวกอีกครั้ง

ดังนั้น U_2 จะทำให้เกิดฮิสเทอรีซิสโดยอ้างถึงรูปที่ 8 จะเห็นว่า

$$\pm \Delta E = \pm \beta V_{sat} \dots (7)$$

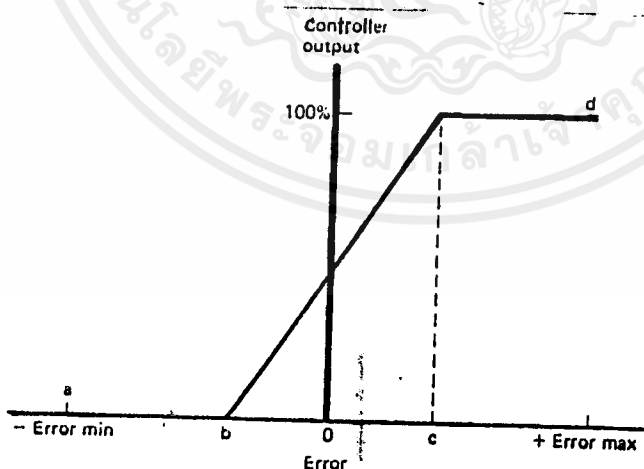
เอกสารนี้เป็นเอกสารที่สงวนไว้สำหรับการใช้งานเพื่อการศึกษาเท่านั้น ไม่อนุญาตให้นำไปใช้ประโยชน์ด้านการค้า ไม่ว่าจะกรณีใดๆ ทั้งสิ้น อีกทั้งห้ามมิให้ตัดแปลงเนื้อหาและต้องอ้างอิงถึงเจ้าของเอกสารทุกครั้งที่มีการนำไปใช้

ออปแอมป์ U_u จะเปลี่ยนระดับจาก U_u ซีเนอร์ไดโอดที่เอาท์พุทจะกำจัดแรงดันเอาท์พุทตัวควบคุมที่สูงสุดที่แรงดันเอาท์พุทตัวควบคุมเป็นลบ ยอมให้ผ่านไปได้เมื่อ U_u อยู่ในสถานะเป็นลบซีเนอร์ไดโอดจะไบอัสไปข้างหน้า (Forward Bias) มีเอาท์พุท -0.6 V ในรูปที่ 8 และ 9 ตัวควบคุมเป็นแบบการกลับเฟสเอาท์พุทที่ได้จะตรงข้ามกับ PV นี้เป็นชนิดที่ระบบควบคุมความร้อนขณะที่อุณหภูมิลดลง เตาลอมจะทำงาน ถ้าอุณหภูมิเพิ่มขึ้นสูงมากๆ ตัวควบคุมจะปิด (เลิกทำงาน)

ระบบทำความเย็นหรือระบบอื่นๆต้องการระบบควบคุมโดยตรง ทำให้ PV และเอาท์พุทของตัวควบคุมเคลื่อนที่ในทิศทางเดียวกัน ขณะที่อุณหภูมิเพิ่มขึ้น เอาท์พุทตัวควบคุมจะเพิ่มขึ้น เครื่องอัดอากาศจะเริ่มหมุน ถ้าอุณหภูมิต่ำทำให้เอาท์พุทตัวควบคุมตกลง เครื่องอัดอากาศเลิกทำงาน

2.3 ตัวควบคุมเป็นสัดส่วน (Proportional Controller, P)

ผลตอบสนองที่เกิดกับตัวควบคุมแบบเปิด/ปิดเหมาะสำหรับระบบที่ช้า แต่ตัวควบคุมแบบสัดส่วน เหมาะสำหรับการควบคุมพื้นที่ในแนวเส้นตรง กราฟการส่งผ่านแบบสัดส่วนแสดงไว้ดังรูปที่ 10

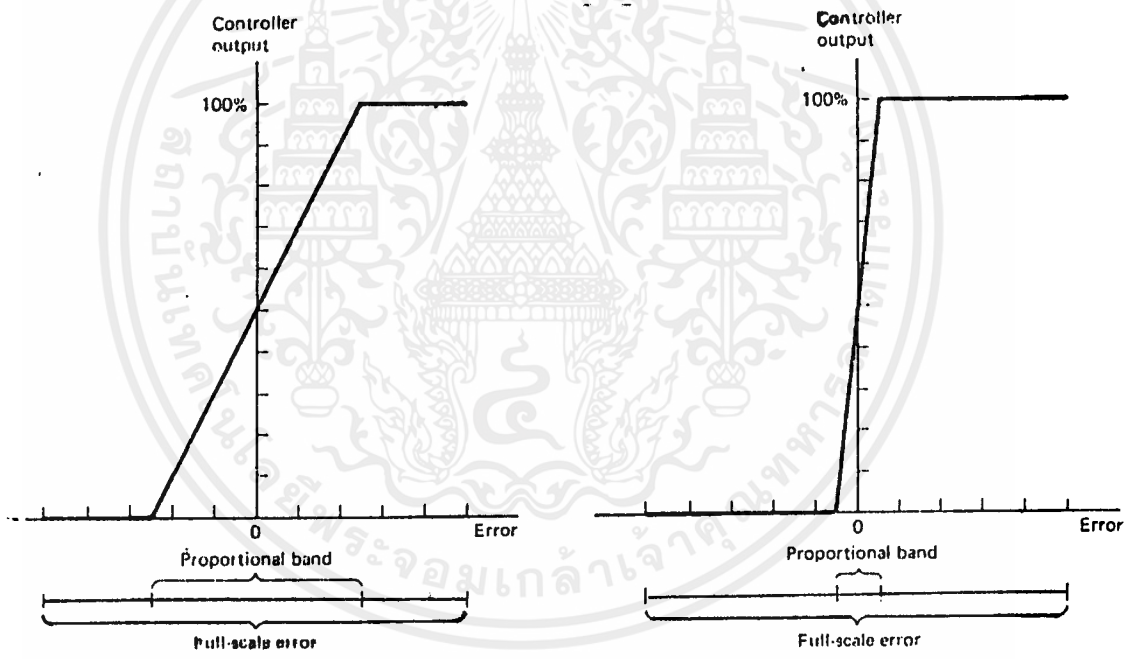


รูปที่ 10 กราฟแสดงการส่งผ่านตัวควบคุมแบบสัดส่วน (Proportional Controller Transfer curve)

เอกสารนี้เป็นเอกสารที่สงวนไว้สำหรับการใช้งานเพื่อการศึกษาเท่านั้น ไม่อนุญาตให้นำไปใช้ประโยชน์ด้านการค้า ไม่ว่าจะกรณีใดๆ ทั้งสิ้น อีกทั้งห้ามมิให้ตัดแปลงเนื้อหาและต้องอ้างอิงถึงเจ้าของเอกสารทุกครั้งที่มีการนำไปใช้

จากรูปจะมีลักษณะคล้ายตัวควบคุมแบบเปิด/ปิด จะปิดเต็มที่ (full off) ที่จุด a เมื่อค่าความผิดพลาดมีค่าเป็นลบมากๆ และให้เอาท์พุทเป็น 100% ที่จุด d เมื่อมีค่าความผิดพลาดเป็นบวกมากๆ ตัวควบคุมแบบนี้มีขอบเขตการตอบสนองที่เป็นเชิงเส้นที่จุด b ถึง c ซึ่งช่วงนี้ค่าความผิดพลาดจะมีค่าเข้าใกล้ศูนย์ ทำให้เอาท์พุทเปลี่ยนแปลงเป็นสัดส่วนกับค่าความผิดพลาดซึ่งจะทำให้ได้ระบบการควบคุมที่ดี

การควบคุมแบบสัดส่วน อธิบายโดยแถบสัดส่วน (Proportional Band) คือช่วงการเปลี่ยนแปลงของค่าความผิดพลาดคิดเป็น % ของค่าความผิดพลาดเต็มสเกลที่ จะทำให้เอาท์พุทเปลี่ยนจากปิดอย่างเต็มที่ (Full Off) ไปเป็นเปิดเต็มที่ (Full On) แสดงไว้ดังรูปที่ 11



รูปที่ 11 ตัวอย่างการส่งผ่านสำหรับ (example transfer curve for)
 (a) แถบสัดส่วน 50% และ (b) แถบสัดส่วน 10%

วงจรควบคุมแบบสัดส่วนดังรูปที่ 12 ออปแอมป์ U_1 จะสร้างสัญญาณค่าความผิดพลาดจากสัญญาณ V_{in} และ V_{out} ออปแอมป์ U_2 ให้แถบสัดส่วนและ U_3 เป็นการกลับเฟสเพื่อแก้ไขเอาต์พุตของ U_2 ซีเนอร์ไดโอดจะเป็นตัวจำกัดแรงดันทั้งทางบวกและลบ จากวงจรสามารถเขียนเป็นลอมการได้ดังนี้

$$V_{out} = (R_f V_{error} / R_1) + (R_f V_{os} / R_{os}) \quad \dots (8)$$

ถ้า $R_f = R_{os}$ จะได้

$$V_{out} = (R_f V_{error} / R_1) + V_{os} \quad \dots (9)$$

ถ้าไม่มีค่าความผิดพลาด

$$V_{error} = 0$$

$$V_{out} = V_{os}$$

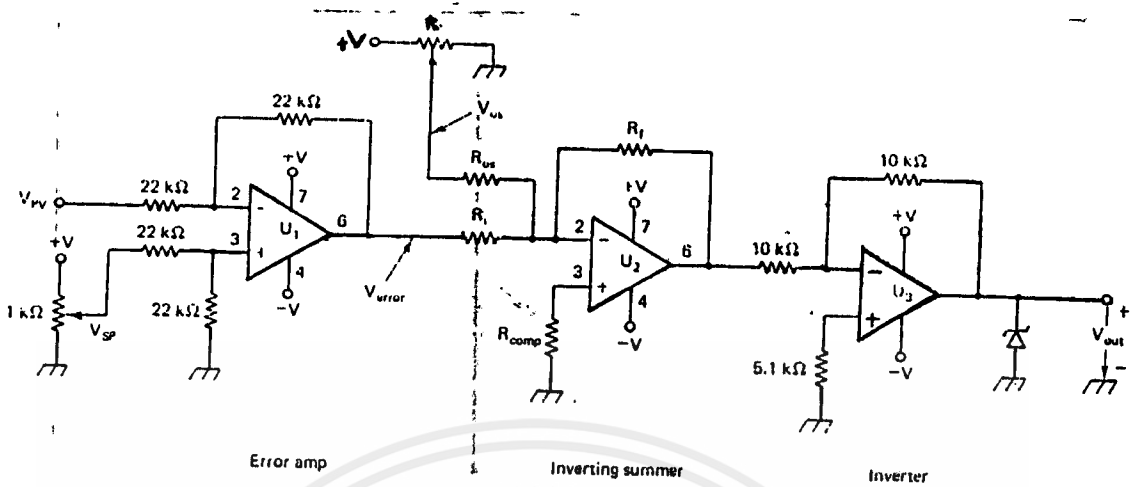
นี่คือค่าความผิดพลาดในรูปที่ 10 สามารถปรับ V_{os} ให้ได้ตามเอาต์พุตตัวควบคุมที่ต้องการ สำหรับอินพุตที่ไม่มีค่าความผิดพลาดจะตั้งไว้ที่ครึ่งหนึ่งที่เต็มสเกลของตัวควบคุม ความชันของกราฟของการส่งผ่าน คือเกน (Gain) ของตัวขยายแบบกลับเฟสที่ขยาย

V_{error}

$$m = R_f / R_1 \quad \dots (10)$$

ถ้าแกนตั้งมีหน่วยเป็น Volts จะได้

$$m = R_f / R_1 = V_{out, FS} / (\%band * V_{error, FS}) \quad \dots (11)$$



รูปที่ 12 ตัวควบคุมแบบสัดส่วน

แม้ว่าตัวควบคุมแบบสัดส่วนจะดีกว่าแบบเปิด/ปิด แต่ก็ยังไม่สามารถกำจัดค่าความผิดพลาดได้อย่างสมบูรณ์การที่จะลดค่าความผิดพลาดต้องเพิ่มเอาต์พุตของตัวควบคุมแต่การเพิ่มเอาต์พุตของตัวควบคุมต้องมีค่าความผิดพลาดบางตัวเกิดขึ้นมา ค่าความผิดพลาดที่เหลือสามารถลดลงโดย การเพิ่มเกนของ U_2 นั่นคือการเพิ่มความชันของกราฟการส่งผ่าน แต่อย่างไรก็ตามเมื่อเพิ่มค่าเกนขึ้นมากเกินไป ระบบจะเกิดการออสซิลเลท จะเห็นว่าตัวควบคุมแบบสัดส่วน สามารถหาค่าความผิดพลาดได้โดยการเพิ่มเกน แต่ต้องระวังเรื่องการออสซิลเลท

ในสมการที่ 8 เขียนให้อยู่ในรูป Laplace Transforms ได้เป็น

$$V_{out} = k_p V_{error} \quad \dots (12)$$

- เมื่อ V_{out} = เอาต์พุตของตัวควบคุม
- k_p = เกนของตัวควบคุมแบบสัดส่วน
- V_{error} = ค่าความผิดพลาดที่เกิดขึ้น

ฟังก์ชันการส่งผ่าน ของตัวควบคุมแบบสัดส่วน คือ

$$\text{Transfer Function} = V_{out} / V_{error} = k_p \quad \dots (13)$$

เอกสารนี้เป็นเอกสารที่สงวนไว้สำหรับการใช้งานเพื่อการศึกษาเท่านั้น ไม่อนุญาตให้นำไปใช้ประโยชน์ด้านการค้า ไม่ว่ากรณีใดๆ ทั้งสิ้น อีกทั้งห้ามมิให้ดัดแปลงเนื้อหาและต้องอ้างอิงถึงเจ้าของเอกสารทุกครั้งที่มีการนำไปใช้

จากรูปที่ 12 ถูกอินเวอร์สโดย U_1 จะกลับเฟสกับเอาต์พุตของ U_2 และอินเวอร์สกลับอีกโดย U_3 เขียนกราฟเอาต์พุตเทียบกับค่าความผิดพลาดจะได้ความชันเป็นบวก ดังรูปที่ 10 และ 11 และถ้าตัด U_3 ออกจะได้ความชันเป็นลบ

2.4. ตัวควบคุมแบบอินทิเกรทและแบบสัดส่วน-อินทิเกรท

(Integral and Proportional-Integral Controller)

หรือแบบ I และแบบ PI

การที่จะกำจัดค่าความผิดพลาดที่เหลือได้ การตอบสนองของตัวควบคุมจะต้องเปลี่ยนไปเอาต์พุตของตัวควบคุมแบบ สัดส่วน เป็นสัดส่วนกับค่าความผิดพลาดของระบบส่วนตัวควบคุมแบบ อินทิเกรท มีอัตราการเปลี่ยนแปลงเอาต์พุตต่อเวลาเป็นสัดส่วนกับค่าความผิดพลาด ขณะที่มีความผิดพลาดเกิดขึ้น ทำให้เอาต์พุตมีการเปลี่ยนแปลงอย่างต่อเนื่องเมื่อค่าความผิดพลาดเข้าใกล้ศูนย์ เอาต์พุตจะมีการเปลี่ยนแปลงไม่มากถือได้ว่าเอาต์พุตมีความจำเป็นที่จะไม่ให้เกิดค่าความผิดพลาด

ในทางปฏิบัติส่วนใหญ่เฉพาะตัวควบคุมแบบ อินทิเกรท อย่างเดียวเอาต์พุตมีการเปลี่ยนแปลงช้าเกินไป จึงจำเป็นต้องใช้ร่วมกับตัวควบคุมแบบ สัดส่วน กลายเป็นตัวควบคุมแบบ PI นี้จะทำให้เอาต์พุตมีการเปลี่ยนแปลงอย่างรวดเร็ว และเป็นสัดส่วนกับขนาดของค่าความผิดพลาด แต่เอาต์พุตจะมีการปรับตัวเองอย่างต่อเนื่อง พยายามที่จะปรับเข้าหาสภาวะคงที่ (steady state) คือค่าความผิดพลาดเป็นศูนย์

2.4.1 ตัวควบคุมแบบอินทิเกรท (Integral Controller) หรือแบบ I

อัตราการเปลี่ยนแปลงของเอาต์พุตเป็นสัดส่วนกับค่าความผิดพลาดสมการเป็นดังนี้

$$dv_{out}/dt = K_i v_{error} \quad \dots (14)$$

เมื่อ v_{out} = เอาต์พุตของตัวควบคุม

K_i = ค่าคงที่ของการอินทิเกรท

v_{error} = ค่าความผิดพลาด

เมื่อค่าความผิดพลาดมากๆ ค่าเอาต์พุตจะเปลี่ยนแปลงอย่างรวดเร็วสอดคล้องกับค่าความผิดพลาด เมื่อค่าความผิดพลาดน้อยลงเอาต์พุตจะเปลี่ยนแปลงอย่างช้าๆ ขณะที่มีความผิดพลาดเอาต์พุตจะเปลี่ยนแปลงอย่างต่อเนื่อง เมื่อใดที่ค่าความผิดพลาดเข้าใกล้ศูนย์การเปลี่ยนแปลงของเอาต์พุตก็เข้าใกล้ศูนย์ด้วยนี้ หมายความว่าค่าเอาต์พุตเป็นตัวกำจัดค่าความผิดพลาด

ในรูปที่ 13 ค่าความผิดพลาดมีค่าระหว่าง a และ b ทำให้เอาต์พุตเปลี่ยนแปลงอย่างรวดเร็วลดค่าความผิดพลาดลงระหว่าง b และ d ทำให้เอาต์พุตเพิ่มขึ้นช้าลงแต่เพิ่มอย่างต่อเนื่อง เมื่อค่าความผิดพลาดเป็นศูนย์ที่จุด d เอาต์พุตของตัวควบคุมไม่มีการเปลี่ยนแปลงแต่ถือว่าเอาต์พุตทำให้ค่าความผิดพลาดตกลงเป็นศูนย์ ค่าความผิดพลาดเป็นลบอยู่ระหว่างเวลา e และ f ทำให้อัตราการเปลี่ยนแปลงเอาต์พุตมีค่าเป็นลบนั่นคือเอาต์พุตตกลง

ในการคำนวณเอาต์พุตของตัวควบคุมภายใต้ฟังก์ชันของค่าความผิดพลาด ต้องเปลี่ยนเป็นสมการดังนี้

$$dv_{out}/dt = K_I v_{error} \quad \dots (15)$$

$$dv_{out} = K_I v_{error} dt$$

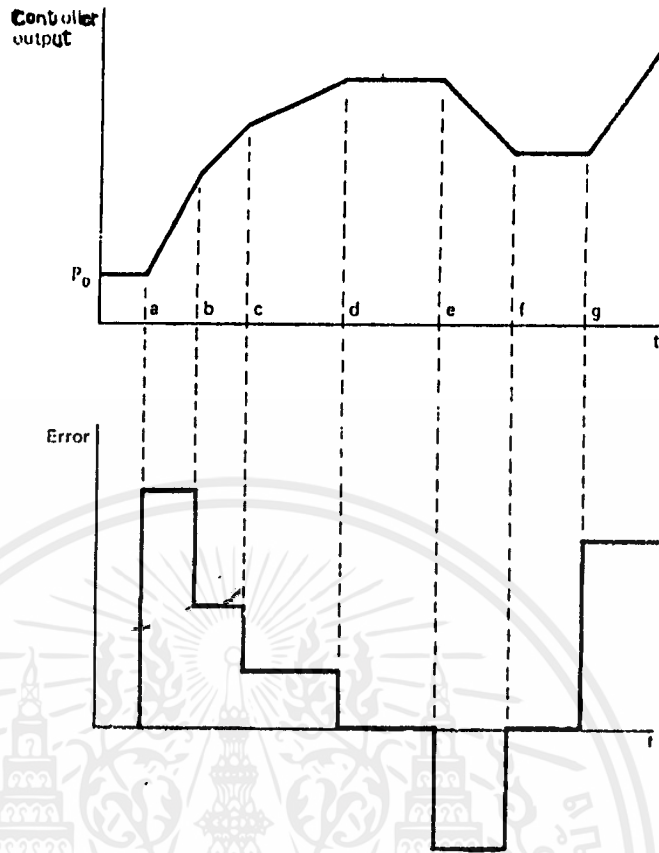
$$\int dv_{out} = \int K_I v_{error} dt$$

$$v_{out} = \int K_I v_{error} dt + V_0 \quad \dots (16)$$

เมื่อค่า V_0 คือค่าเริ่มต้นของตัวควบคุมแปลงเป็นสมการ Laplace Transforms คือ

$$v_{out} = \frac{K_I V_{error}}{s}$$

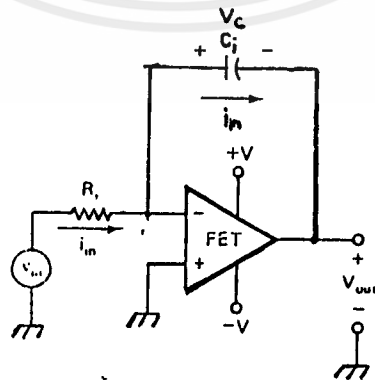
และ ฟังก์ชันการส่งผ่าน คือ $\frac{V_{out}}{V_{error}} = \frac{K_I}{s}$



รูปที่ 13 ความสัมพันธ์เอาท์พุท กับอินพุทของตัวควบคุมแบบอินทิเกรท

รูปที่ 14 เป็นวงจรของออปแอม อินทิเกรทเทอร์ (Op Amp Integrator) แรงดันอินพุทจะขับเคลื่อนกระแสอินพุทผ่าน R_1 เนื่องจากการป้อนกลับเป็นลบโดยใช้ตัวเก็บประจุ

$$I_{in} = \frac{V_{in}}{R_1}$$



รูปที่ 14 ออปแอมป์อินทิเกรทเทอร์ 5 โวลต์ (Op Amp)

Integrator (5v))

เอกสารนี้เป็นเอกสารที่สงวนไว้สำหรับการใช้งานเพื่อการศึกษาเท่านั้น ไม่อนุญาตให้นำไปใช้ประโยชน์ด้านการค้า
ไม่ว่ากรณีใดๆ ทั้งสิ้น อีกทั้งห้ามมิให้ตัดแปลงเนื้อหาและต้องอ้างอิงถึงเจ้าของเอกสารทุกครั้งที่มีการนำไปใช้

กระแสไม่ไหลเข้า ออปแอมป์ ดังนั้นกระแสทั้งหมดไหลเข้าตัวเก็บประจุ ความสัมพันธ์ของแรงดันและกระแสคือ

$$\frac{dv_c}{dt} = \frac{-i}{C_1}$$

หรือ $dv_c = \frac{-i}{C_1} dt$

$$v_c = \frac{-i}{C_1} \int i dt + V_0 \quad \dots(17)$$

เมื่อ V_0 คือค่าเริ่มต้นที่ตัวเก็บประจุถูกชาร์จไว้แล้ว แทนสมการ (16) ใน (17) จะได้

$$v_c = \frac{-i}{C_1} \int \frac{v_{in}}{R_1} dt + V_0 \quad \dots(18)$$

$$= \frac{1}{C_1 R_1} \int v_{in} dt + V_0$$

เมื่อเทียบสมการ (18) กับสมการที่ (16)

$$K_1 = \frac{-1}{R_1 C_1}$$

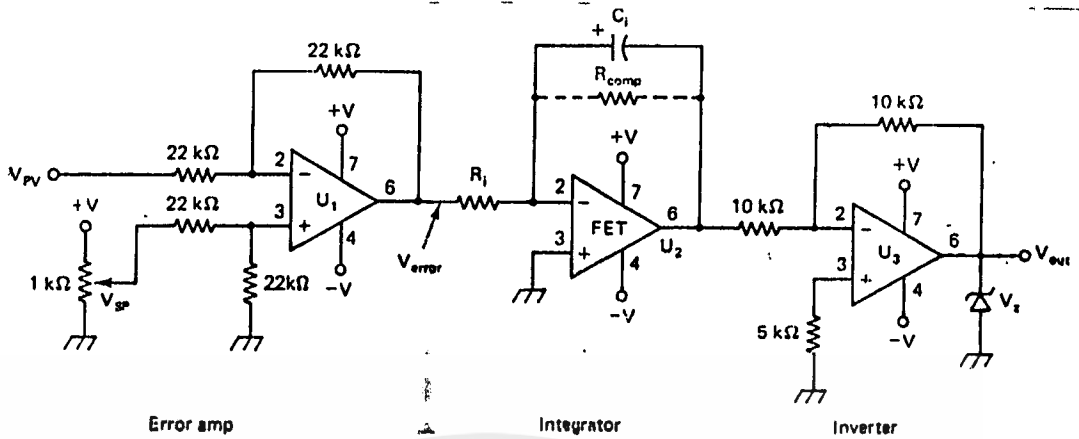
เมื่อ K_1 คือ ค่าคงที่ในการอินทิเกรต (หน่วยต่อวินาที)

$R_1 C_1$ คือ เวลาการอินทิเกรต (หน่วย วินาที)

วงจรที่สมบูรณ์ของตัวควบคุมแบบ I ดังแสดงไว้ในรูปที่ 15 ออปแอมป์ V_1 สร้างสัญญาณค่าความผิดพลาดเป็นบวกจะได้เอาท์พุทเป็นลบ สังเกตจากสมการที่ (18) เครื่องหมายสัญญาณเป็นลบ การควบคุมแบบลบนี้จะถูกอินเวอร์สและถูกจำกัดโดย V_u และซีเนอร์ ไอโอด ตามลำดับ

R_{comp} เป็นตัวไบอัสกระแสให้กับ C_1 ถ้าไม่มี R_{comp} มาไบอัสกระแสตามจุดประสงค์ทั่ว ๆ ไป ออปแอมป์จะมีค่ามากเพียงพอที่จะชาร์จ C_1 แรงดันจะไม่มีค่าความผิดพลาดเกิดขึ้น ทำให้เอาท์พุท V_2 เพิ่มขึ้นอย่างช้า ๆ จนกระทั่งอิ่มตัว โดยเลือก

$$R_{comp} > 10R_1$$



รูปที่ 15 ตัวควบคุมแบบอินทิเกรต (Integral Controller)

ถ้าเอาที่พู่ของ U₂ เพิ่มขึ้นด้วย V_{error} = 0

ค่าความผิดพลาดเป็นศูนย์ หมายความว่ามีความดันเป็นศูนย์โวลต์ แต่ละข้างของ R_i ดังนั้นไม่มีกระแสไหลผ่านมัน ในทางอุดมคติ C_i จะคายประจุ ด้วยแรงดันของตัวมันเอง อย่างไรก็ตามเมื่อเรารวม R_{comp} เพื่อรักษากระแสไบอัสจากการประจุ C_i ตัวเก็บประจุคายประจุอย่างช้า ๆ ผ่าน R_{comp} ถ้าไม่มี R_{comp} หรือมี R_{comp} มีค่าสูงมากๆ จะยอมให้กระแสไบอัสผ่านไปยังประจุ C_i ถ้า R_{comp} มีค่าน้อยมากๆ ย่อมให้ C_i ไปยังการคายประจุมากกว่าที่จะรักษาระดับแรงดันของมัน การเลือก U₂ ที่เป็นออปแอมป์ด้วยกระแสไบอัสต่ำ ๆ ใช้โดย FET หรือ CMOS ที่มีค่ากระแสไบอัสเป็น pA หรือน้อยกว่านี้ การใช้ FET หรือ CMOS แทน U₂ นี้จะไปทำให้ V_{out} เปลี่ยนแปลงเพราะกระแสไบอัส ถึงแม้ว่าจะไม่มี R_{comp} ก็ตาม

สรุปได้ว่าตัวควบคุมแบบอินทิเกรต เอาที่พู่จะเปลี่ยนแปลงอย่างต่อเนื่องจนกระทั่งค่าความผิดพลาด

พลาดเข้าใกล้ศูนย์ รูปแบบการอินทิเกรตโดยใช้ออปแอมป์และป้อนกลับด้วยตัวเก็บประจุที่เป็นลบ ก็ควบคุมกระแสไบอัสได้อย่างปลอดภัย หรือชดเชยได้

2.4.2 ตัวควบคุมแบบ PI (Proportional-Integrate Controller)/

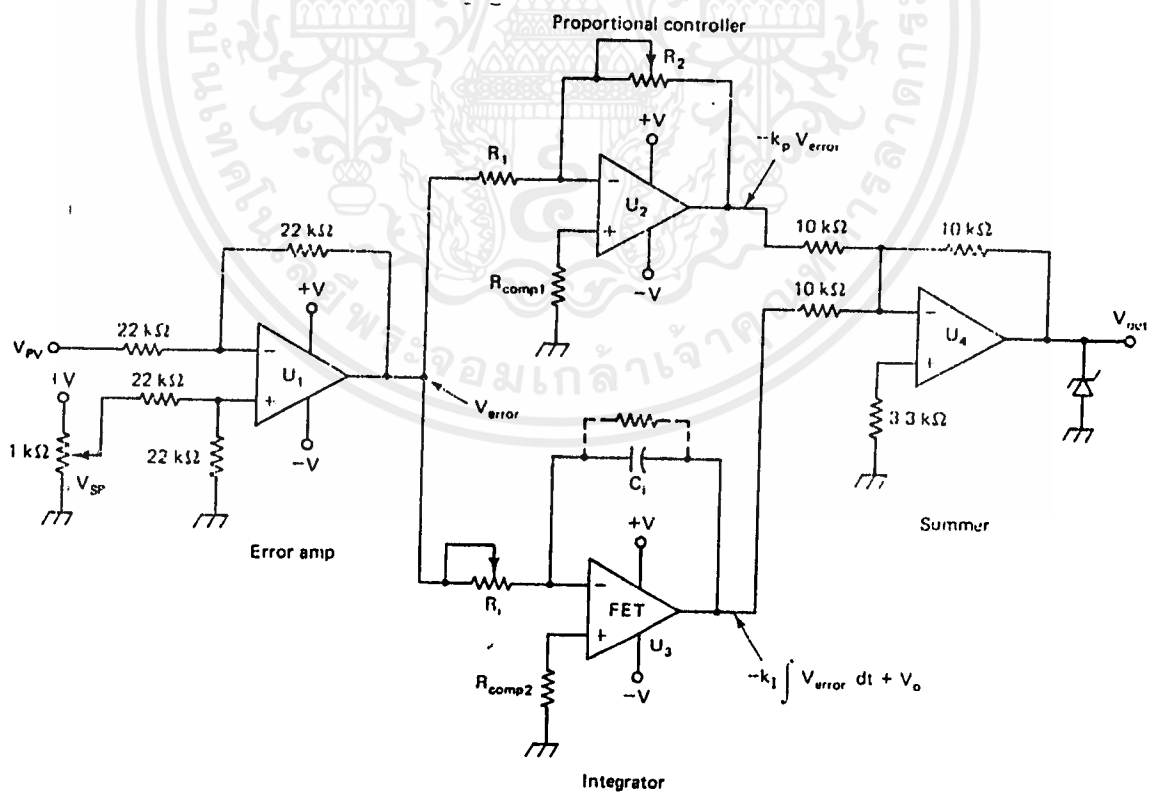
ตัวควบคุมแบบ I เพียงอย่างเดียวยากที่จะตอบสนองต่อทรานเซียนต์ ค่าความผิดพลาดจะเป็นอินพุตเป็นขั้นๆ (step i/p) เข้าไปยังตัวควบคุมแบบ I มันจะตอบสนองโดยเอาท์พุทที่มีการเปลี่ยนแปลงไปสำหรับการตอบสนองของตัวควบคุมแบบสัดส่วน จะตอบสนองเมื่อค่าความผิดพลาด เป็นอินพุตเข้าไปเป็นstep เอาท์พุทที่ได้ก็จะ เป็นสัดส่วนกับอินพุตนั้น อย่างไรก็ตามเอาท์พุทของตัวควบคุมแบบ I จะเปลี่ยนแปลงอย่างต่อเนื่องจนกระทั่งเข้าสู่สภาวะคงที่ไม่มีค่าความผิดพลาด ซึ่งตัวควบคุมแบบสัดส่วนไม่สามารถกำจัดได้หมดตัวควบคุมแบบ PI เป็นการพยายามนำเอาข้อดีของทั้งสองแบบมาใช้คือตอบสนองต่อช่วงขณะใดขณะหนึ่ง(transient) ได้ดี คือแบบสัดส่วนและกำจัดค่าความผิดพลาดจากแบบอินทิเกรต

ตัวควบคุมPIแบบขนานดังรูปที่16อปแอมป์ U_1 เป็นตัวสร้างสัญญาณค่าความผิดพลาด

$$V_{error} = V_{sp} - V_{pv}$$

เป็นสัญญาณค่าความผิดพลาด ให้กับตัวควบคุมทั้งสองเกน(gain)ของตัวควบคุมแบบสัดส่วน U_2 ซึ่งค่าความผิดพลาด ได้รับมาจากเกน (gain)

$$K_p = \frac{R_2}{R_1}$$



รูปที่ 16 ตัวควบคุมแบบสัดส่วน-อินทิเกรตขนาน(parallel PI controller)

เอกสารนี้เป็นเอกสารที่สงวนไว้สำหรับการใช้งานเพื่อการศึกษาเท่านั้น ไม่อนุญาตให้นำไปใช้ประโยชน์ด้านการค้า ไม่ว่าจะกรณีใดๆ ทั้งสิ้น อีกทั้งห้ามมิให้ตัดแปลงเนื้อหาและต้องอ้างอิงถึงเจ้าของเอกสารทุกครั้งที่มีการนำไปใช้

$$v = -K_i \int V_{\text{error}} dt + V_o$$

$$\text{เมื่อ } K_i = 1/R_1 C_1$$

สัญญาณทั้งสองรวมกันโดย U_+ เป็นการรวมแบบกลับเฟส (Inverting Summer) ให้เอาต์พุตสุดท้ายคือ

$$V_{\text{out}} = K_p V_{\text{error}} + K_i \int V_{\text{error}} dt + V_o$$

เขียนอยู่ในรูปสมการ Laplace Transform คือ

$$V_{\text{out}} = K_p V_{\text{error}} + K_i V_{\text{error}} \quad \dots (19)$$

Transfer Function ของวงจรรูปที่ 16

$$V_{\text{out}} / V_{\text{error}} = K_p + K_i / s$$

$$V_{\text{out}} / V_{\text{error}} = [K_p s + K_i] / s$$

$$V_{\text{out}} / V_{\text{error}} = [s + (K_i / K_p)] / (1 / K_p) s \quad \dots (20)$$

ตัวควบคุม PI แบบอนุกรมแสดงในรูป 17 ออปแอมป์ U_+ สร้างสัญญาณค่าความผิดพลาด

$$V_{\text{error}} = V_{sp} - V_{pv}$$

สัญญาณค่าความผิดพลาดเป็นอินพุทของตัวควบคุมแบบ P : U_2 มีเกนคือ

$$K_p = R_2 / R_1$$

สังเกตว่าทั้งสองตัวจะกลับกันตัวควบคุมแบบสัดส่วนนี้จะไม่ออฟเซต ไม่เหมือนรูปที่ 11

อินพุทขอตัวควบคุมแบบ I : $U_3 (v_{in})$ เป็นเอาต์พุทของตัวควบคุมแบบสัดส่วนคือ $-K_p V_{\text{error}}$

$$v = -(1/R_1 C_1) \int V_{in} dt + V_o \quad \dots (21)$$

หรือ

$$v = K_i \int v_{in} dt + V_o$$

แทน $v_{in} = -K_p v_{error}$ ลงในสมการที่ 21

$$v = -K_i \int (-K_p v_{error}) dt + V_o$$

$$v = K_p K_i \int (v_{error}) dt + V_o$$

ตัวรวม U_+ เป็นวงจรขยายที่แตกต่างกัน (Difference Amplifier)

$$v_{out} = (10K/10K) [(K_p K_i \int (v_{error}) dt + V_o) - (-K_p v_{error})]$$

$$v_{out} = K_p v_{error} + K_p K_i \int (v_{error}) dt + V_o \quad \dots (22)$$

แปลงเป็น Laplace Transform คือ

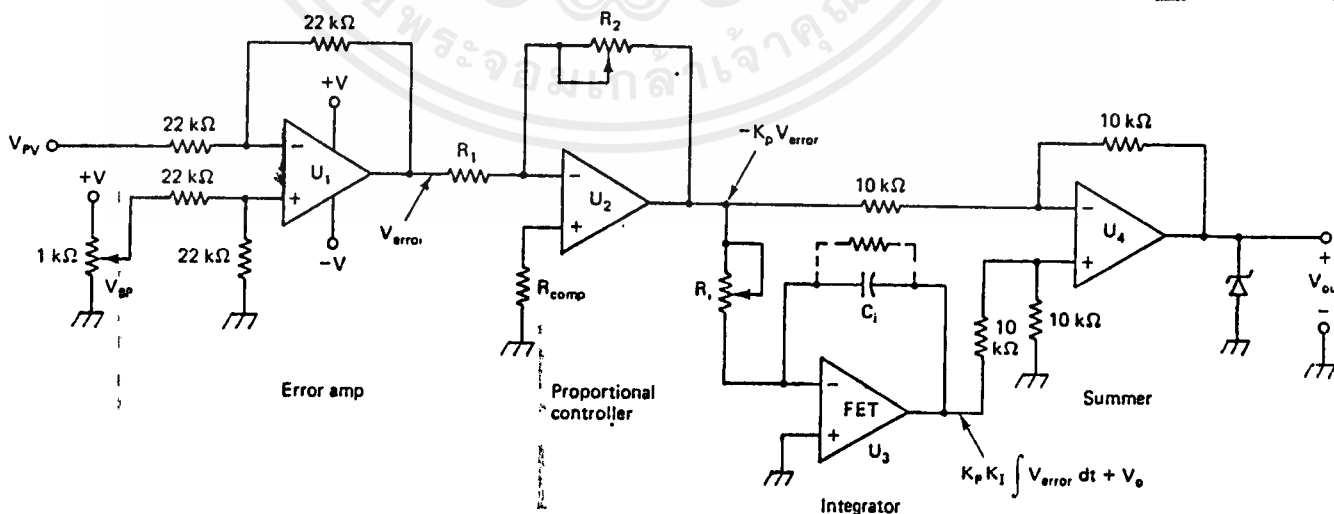
$$V_{out} = K_p V_{error} + (K_p K_i / s) V_{error} \quad \dots (23)$$

สำหรับ Transfer Function $= V_{out} / V_{error} = K_p (s + K_i) / s = (K_p T_i s + 1) / T_i s$

ที่ $T_i = 1/K_i = R_1 C_1$

$$K_p = R_2 / R_1$$

ค่าคงที่ในการอินทิเกรต K_i กำหนดให้ในเทอมต่อนาที แต่ในส่วนของตัวควบคุมแบบอินทิเกรต ที่ผ่านมาก็คืออยู่ในหน่วยของต่อวินาที การเปลี่ยนหน่วยวินาทีให้เป็นนาทีทำได้โดยคูณ 60 s/min

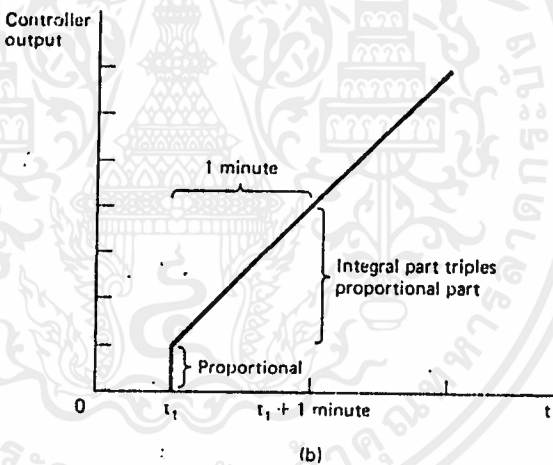
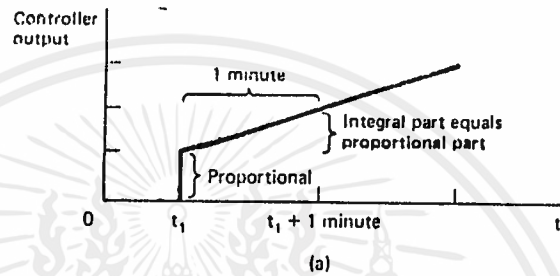


รูปที่ 17 ตัวควบคุมแบบสัดส่วน-อินทิเกรตอนุกรม (Series PI

Controller)

เอกสารนี้เป็นเอกสารที่สงวนไว้สำหรับการใช้งานเพื่อการศึกษาเท่านั้น ไม่อนุญาตให้นำไปใช้ประโยชน์ด้านการค้าไม่ว่ากรณีใด ทั้งสิ้น อีกทั้งห้ามมิให้ตัดแปลงเนื้อหาและต้องอ้างอิงถึงเจ้าของเอกสารทุกครั้งที่มีการนำไปใช้

สัญลักษณ์ทางไฟฟ้าของ K_I ดังตัวอย่างในรูปที่ 18 ที่เวลา t_1 มีสแตปหนึ่งในค่าความผิดพลาดซึ่งทำให้ส่วนที่เป็นสัดส่วนของตัวควบคุมมีการสแตปขึ้นการรวมค่าความผิดพลาดคงที่ที่เหลืออยู่ในส่วนอินทิกรัลของตัวควบคุมจะทำให้เอาต์พุตเพิ่มขึ้น อัตราส่วนของการเพิ่มขึ้นอย่างรวดเร็วตั้งไว้ที่ K_I ด้วยค่าคงที่การอินทิเกรตของ 1 reset/วินาทีใน 1 วินาทีของการเพิ่มขึ้นจะส่งเอาต์พุตในส่วนที่เป็นสัดส่วนจะแสดงไว้ในรูป 18a และรูป 18b ส่วนอินทิกรัลของตัวควบคุมจะทำให้ การเพิ่มขึ้นซึ่งเป็น 3 เท่าของเอาต์พุตโดยตัวควบคุมแบบสัดส่วนนี้เป็นเหตุให้การอินทิเกรต 3 .resets/วินาที



รูปที่ 18 ค่าคงที่อินทิกรัลสำหรับ (Integral constant for)

(a) 1 และ (b) 3 resets per minute

การหาการตอบสนองต่ออินพุต (V_{out}) ของวงจรรูปที่ 17 ถ้าสมมติให้

- $V_{in} = 5 \text{ v}$
- $R_1 = 3.3 \text{ k โอห์ม}$
- $R_2 = 10 \text{ k โอห์ม}$
- $C_1 = 100 \text{ } \mu\text{F}$
- $V_o = 15$

วิธีทำ จาก $V_{error} = V_{np} - V_{pv}$

แรงดันที่ผิดพลาดเป็นตัวแปรที่ควบคุมแล้วลบด้วย 5V แรงดันที่ผิดพลาด V_{np} แต่เลื่อนลง

V

U_2 : ตัวควบคุมแบบสัดส่วน คือตัวขยายกลับเฟสกัน (inverting amplifier) มี
 กน (gain) คือ

$$K_p = R_2 = 10 \text{ kโห้่ม} = 3$$

$$R_1 = 3.3 \text{ kโห้่ม}$$

เอาที่พุกของ U_2 จะขยายและอินเวอร์ส ของแรงดันที่ผิดพลาด

U_3 : ถ้ากำหนดค่าอินพุทให้ จะได้กราฟของเอาท์พุทของตัวควบคุมแบบอินทิเกรตมี
 อัตราความลาดเอียงเป็น

$$\text{rate} = \frac{V}{RC}$$

$$V = K V_{error}$$

$$R = 10 \text{ kโห้่ม}$$

$$C = 100 \mu\text{F}$$

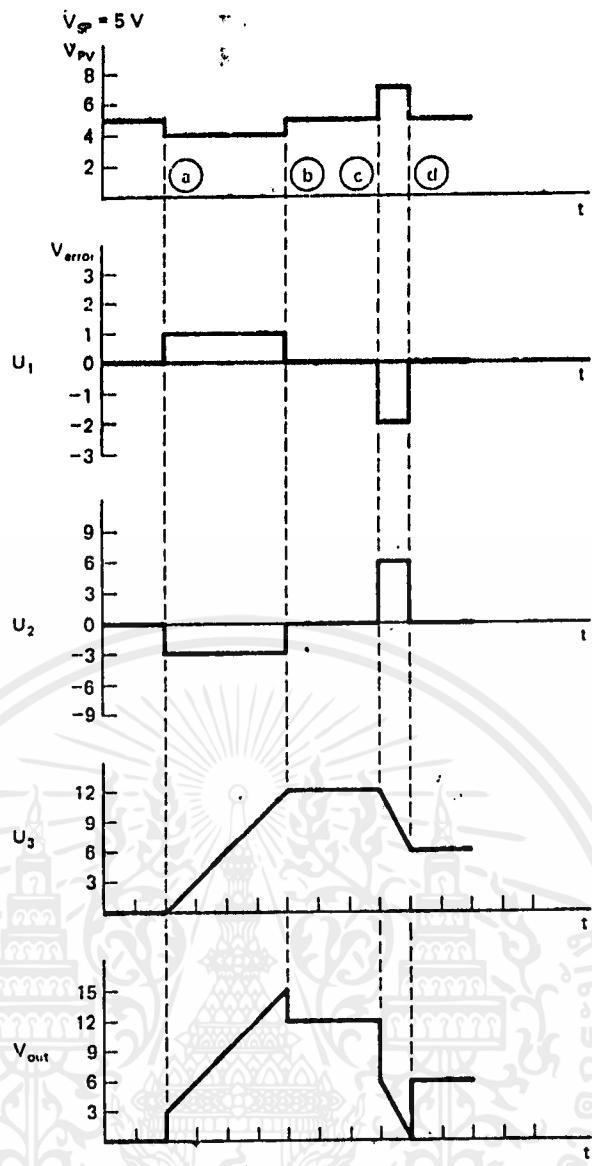
$$\text{rate} = \frac{3 V_{error}}{10 \text{ kโห้่ม} \times 100 \mu\text{F}}$$

ที่เวลา!

a-b : $V_{error} = 1 \text{ v}$ curve ของเอาท์พุทของ U_3 จะมีอัตราความลาด
 เอียงขึ้น 3 v/s

b-c : $V_{error} = 0 \text{ v}$ เอาท์พุทของ U_3 จะคงที่

c-d : $V_{error} = -2 \text{ v}$ curve ของเอาท์พุทของ U_3 จะลาดลดลง
 แสดงได้ดังรูปที่ 19



รูปที่ 19 แสดงการตอบสนองต่อ ค่าความผิดพลาด ของวงจรรูปที่ 17

อย่างไรก็ตามวงจรในรูปที่ 17 ยอมให้ปรับ V_{pv} , $K_u (R_2)$, $K_i (R_1)$ อย่างอิสระ ส่วนประกอบทุกอย่างในตัวควบคุมด้วยออปแอมป์อาจจะมัลผลต่อพารามิเตอร์หลายตัวการปรับให้เหมาะสมนั้นทำได้ยาก

ในส่วนอินทิกรัลของตัวควบคุมแบบนี้ จะพิจารณาการปรับปรุงออปเซตของตัวควบคุมแบบสัดส่วนจะให้เอาท์พุทคงที่สำหรับค่าความผิดพลาดที่คงที่และปรับออปเซต เพื่อกำจัดค่าความผิดพลาดได้

เมื่อรวมอินทิกรัลเข้ากับความโน้มเอียงของตัวควบคุมแบบสัดส่วน ส่งผลให้เกิดข้อเสียเพิ่มเติมต้องลด K_u ในระบบ อย่างไรก็ตามการลดความสามารถของตัวควบคุมลง ผลตอบสนองเกิดอย่างรวดเร็ว เมื่อใช้กับระบบที่มีความหน่วงเวลาที่ยาวนานการเพิ่มขึ้นของอินทิกรัล ทำให้ตัวควบคุมผิดไปก่อนที่ความหน่วงของขบวนการจะตอบสนอง

2.5. ตัวควบคุมแบบ D และPID

[Derivative and Three-mode (PID) Controller]

ตัวควบคุมแบบ PI จะเข้าสู่สภาวะคงที่ได้ทั้งหมด ระบบใหญ่ๆ ในส่วนตัวควบคุมแบบสัดส่วนจะให้ความเร็วที่พอในการตอบสนองต่อค่าความผิดพลาดที่เข้ามาสู่ระบบ อย่างไรก็ตามระบบที่มีความเฉื่อยมากจำเป็นต้องมีการเพิ่มกำลังในการตอบสนองต่อค่าความผิดพลาดโดยใช้ตัวควบคุมแบบดิริเวทิฟแล้วรวมเข้ากับตัวควบคุมแบบPI เรียกว่า ตัวควบคุมแบบ PID

2.5.1 ตัวควบคุมแบบ D (Derivative Controller)

เอาท์พุทของตัวควบคุมแบบดิริเวทิฟ เป็นสัดส่วนกับอัตราการเปลี่ยนแปลงของค่าความผิดพลาดดังนี้

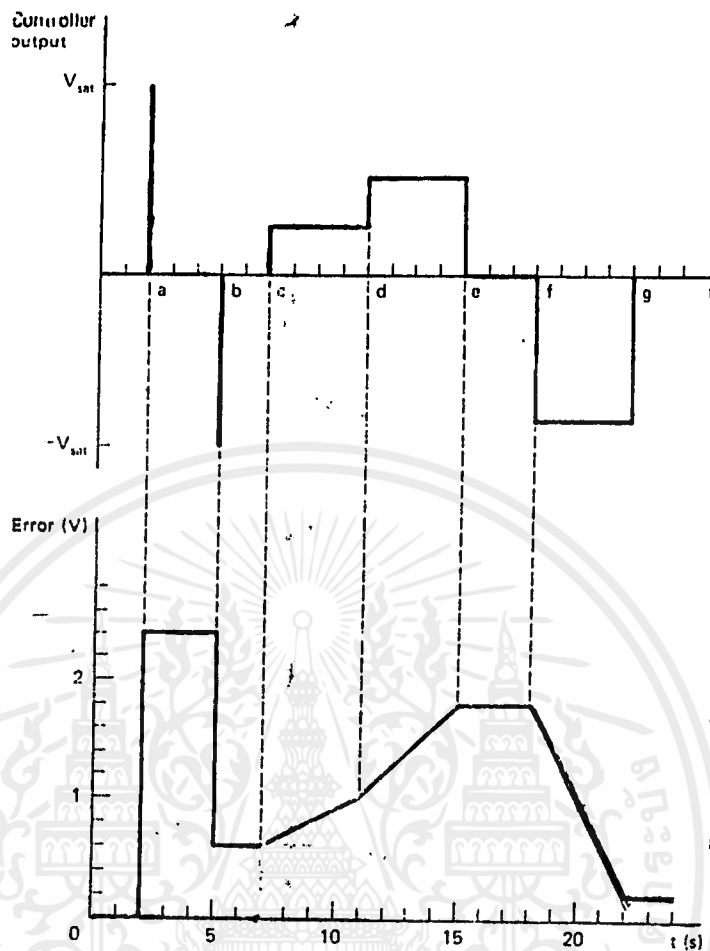
$$v_{\text{error}} = K_D dv_{\text{error}} / dt$$

แปลงเป็นสมการ Laplace Transform คือ

$$V_{\text{out}} = K_D s V_{\text{error}}$$

สำหรับ Transfer Function = $V_{\text{out}} / V_{\text{error}} = K_D s \dots (24)$

รูปที่ 20 แสดงการตอบสนองของค่าความผิดพลาดตัวควบคุมแบบดิริเวทิฟ ที่จุด a ความชันเป็นอนันต์ทำให้เอาท์พุทของตัวควบคุมถึงจุดอิ่มตัวและระหว่างเวลา a และ b และ c, e และ f ค่าความผิดพลาดมีค่าคงที่ ความชันของค่าความผิดพลาดมีค่าเป็นศูนย์ ดังนั้นเอาท์พุทของตัวควบคุมในช่วงเวลานี้จึงเป็นศูนย์ด้วยการเพิ่มขึ้นอย่างคงที่ของค่าความผิดพลาดหรือมีความชันคงที่ จะให้ค่าเอาท์พุทคงที่ (เวลา c ถึง d) การเพิ่มความชันของค่าความผิดพลาดขึ้นกับขนาดของเอาท์พุทเพิ่มขึ้นด้วย (เวลา d ถึง e) การลดลงของค่าความผิดพลาดมีค่าความชันเป็นลบ (เวลาที่ f ถึง g)



รูปที่ 20 แสดงอินพุตและเอาต์พุตของตัวควบคุมแบบ ดิรีเวทิว

รูปที่ 21 เป็นวงจรพื้นฐานของออปแอมป์แบบแตกต่างกัน สังเกตว่าเป็นอินทิกรัลซึ่ง ความต้านทานและตัวเก็บประจุจะเปลี่ยนตำแหน่งเช่นใน Inverting Amplifier ใช้ R_f แทน C_o มีค่าเกณฑ์คือ

$$v_{out}/v_{in} = R_f/Z_c$$

ในรูปของ Laplace Domian

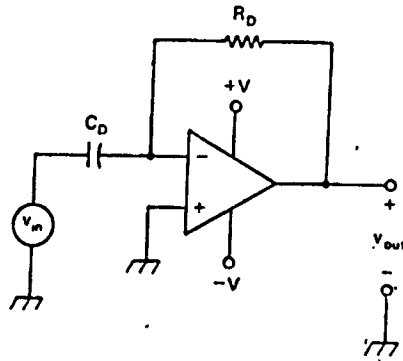
$$Z_c = 1/sC$$

$$\begin{aligned} V_{out}/V_{in} &= -R_o/(1/sC_o) \\ &= -R_o C_o s \end{aligned}$$

เทียบกับสมการ (24) จะได้

$$K_o = R_o C_o = \text{ค่าคงที่ที่แตกต่างกัน} \quad \dots (25)$$

เอกสารนี้เป็นเอกสารที่สงวนไว้สำหรับการใช้งานเพื่อการศึกษาเท่านั้น ไม่อนุญาตให้นำไปใช้ประโยชน์ด้านการค้า ไม่ว่ากรณีใดๆ ทั้งสิ้น อีกทั้งห้ามมิให้ตัดแปลงเนื้อหาและต้องอ้างอิงถึงเจ้าของเอกสารทุกครั้งที่มีการนำไปใช้



รูปที่ 21 ออปแอมป์พื้นฐาน (Basic op Am Diff)

มีข้อควรระวังอยู่สองข้อสำหรับการควบคุมแบบดิริเวทิฟ

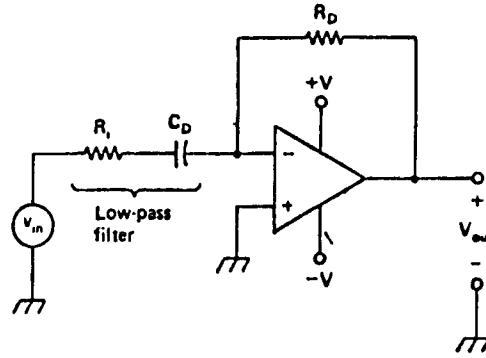
ข้อแรก สำหรับอินพุตที่เป็นรูปไซน์

$$\begin{aligned} V_{out} &= (Z_{RD} / Z_{CD}) V_{in} \\ &= R_D V_{in} / (1 / 2\pi f C_D) \\ &= 2\pi f C_D R_D V_{in} \end{aligned}$$

สำหรับสัญญาณความถี่ต่ำจะได้เอาท์พุทเล็กมาก อย่างไรก็ตามเอาท์พุทขึ้นกับความถี่เสียงรบกวน (noise) ความถี่สูงจะถูกขยายให้ใหญ่ขึ้น ที่ความถี่สูงเอาท์พุทที่ใหญ่อาจจะถูกป้อนกลับผ่านตัวเก็บประจุที่อยู่ในวงจรถ่ายไปเสริมกับอินพุท เสียงรบกวน (noise) ความถี่อาจทำให้เกิดการออสซิลเลทรบกวนวงจรถ่ายได้ เราแก้ได้โดยการต่อ R_f อนุกรมเข้าไปดังรูปที่ 22 R_f และ C_D จะเป็นส่วนของวงจรถ่ายผ่านความถี่ต่ำ (low pass filter) ที่อินพุท

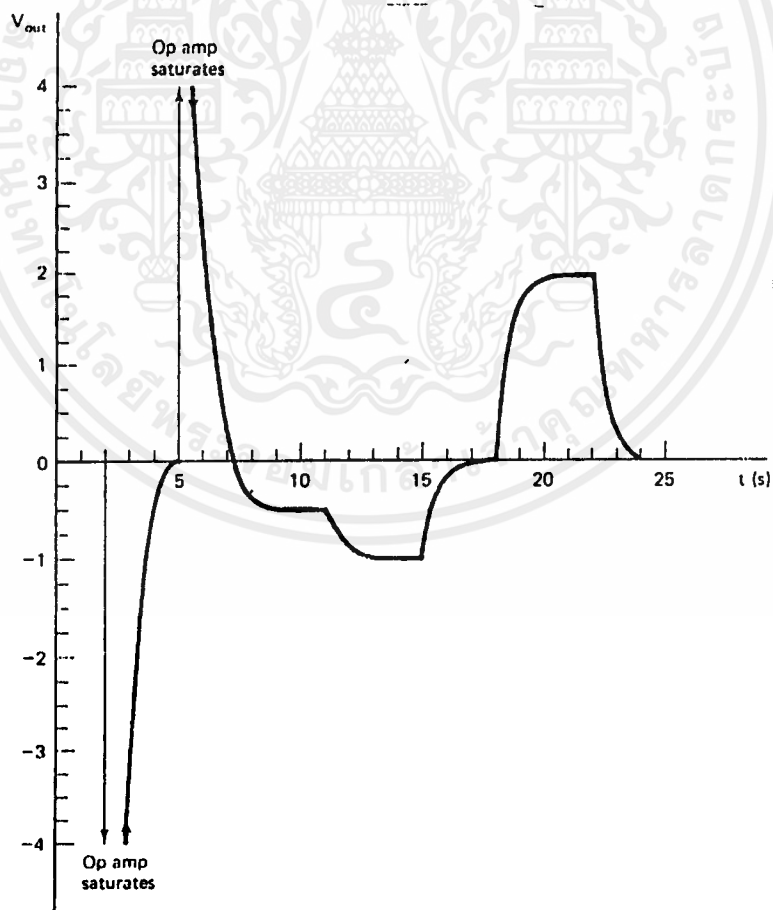
การแก้ปัญหาคความถี่สูงจะเพิ่มความยุ่งยากในการวิเคราะห์วงจร สมการ Laplace transform จะเริ่มต้นจาก

$$\begin{aligned} V_{out} / V_{in} &= -Z_f / Z_i \\ \text{เมื่อ } Z_f &= R_D \\ Z_i &= R_f + (1 / C_D s) \\ V_{out} / V_{in} &= -R_D / (R_f + 1 / C_D s) \\ \text{หรือ} \\ V_{out} / V_{in} &= -R_D C_D s / (R_f C_D s + 1) \\ \text{ให้} \quad R_D &= K_D, R_f C_D = T_i \text{ จะได้} \\ V_{out} &= -K_D s \\ V_{in} &= T_i s + 1 \end{aligned}$$



รูปที่ 22 วงจรที่แตกต่างในทางปฏิบัติ (Practical differentiator)

การตอบสนองต่อสัญญาณอินพุต ในรูปที่ 20 ในทางปฏิบัติแล้ว จะเป็นดังรูปที่ 22 ข้อควรระวังข้อที่ 2 จะเห็นว่าตัวควบคุมแบบตรีเวทไฟ จะมีเอ๊าท์พุทเมื่อมีการเปลี่ยนแปลงค่าความผิดพลาดเท่านั้น ระบบที่มีค่าความผิดพลาดคงที่จะไม่มีเอ๊าท์พุทของตัวควบคุมของตัวควบคุมแบบตรีเวทไฟ จะต้องใช้ร่วมกับแบบย้อนกลับเสมอ



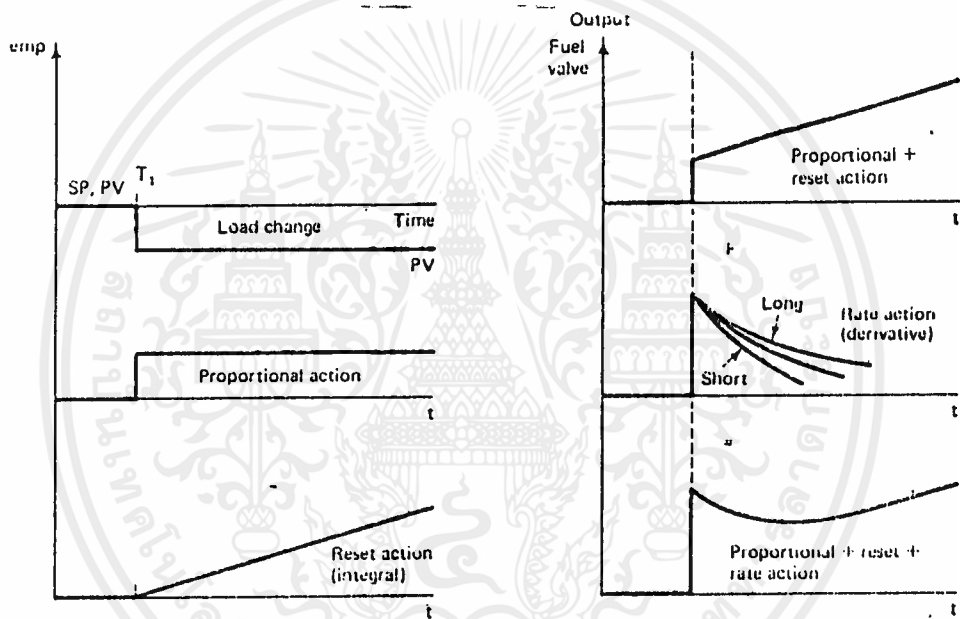
รูปที่ 23 ผลตอบสนองของวงจรแตกต่างในทางปฏิบัติ

เอกสารนี้เป็นเอกสารที่สงวนไว้สำหรับการใช้งานเพื่อการศึกษาเท่านั้น ไม่อนุญาตให้นำไปใช้ประโยชน์ด้านการค้า ไม่ว่าจะกรณีใดๆ ทั้งสิ้น อีกทั้งห้ามมิให้ตัดแปลงเนื้อหาและต้องอ้างอิงถึงเจ้าของเอกสารทุกครั้งที่มีการนำไปใช้

2.5.2 ตัวควบคุม PID แบบขนาน

(Parallel Three-Mode (PID) Controller)

เป็นการรวมเอาตัวควบคุม P, I, D เข้าด้วยกันเป็นตัวควบคุมแบบ PID ตัวควบคุมแบบสัดส่วนจะตอบสนองต่อค่าความผิดพลาดได้เร็ว ส่วนตัวควบคุมแบบอินทิเกรตจะกำจัดค่าความผิดพลาดที่เหลือได้หมด และตัวควบคุมแบบดิริเวทิฟจะให้เสถียรภาพที่ดีมีการตอบสนองต่อค่าความผิดพลาดได้เร็ว ในรูปที่ 24 แสดงเอาท์พุทแต่ละตัวและเอาท์พุทเมื่อรวมเข้ากันแล้ว



รูปที่ 24 การรวมกันแบบPID

วงจรตัวควบคุม PID แบบขนาน แสดงไว้ในรูปที่ 25 เป็นการรวมตัวควบคุมแบบ I และ PI จะต้องรวมค่าความต้านทานขนาดใหญ่รอบ C_1 เพื่อชดเชยกระแสไบอัสหรือใช้ ออปแอมป์กระแสไบอัสต่ำความต้านทานที่จะกำจัดตัวควบคุมแบบดิริเวทิฟ R_3 จะรักษาสภาพ ขนาดเล็ก ๆ เท่าที่เป็นได้ และยังคงเสถียรภาพ ง่ายในผลตอบสนองวงจรที่แตกต่าง สมมติว่าผลกระทบต่อความต้านทาน 2 ตัวนี้ ไม่เป็นตามทางอุดมคติจะตัดทิ้งในการ เปรียบเทียบ ยังผลกระทบของแรงดัน ค่าความผิดพลาด

เอกสารนี้เป็นเอกสารที่สงวนไว้สำหรับการใช้งานเพื่อการศึกษาเท่านั้น ไม่อนุญาตให้นำไปใช้ประโยชน์ด้านการค้า ไม่ว่าจะกรณีใดๆ ทั้งสิ้น อีกทั้งห้ามมิให้ตัดแปลงเนื้อหาและต้องอ้างอิงถึงเจ้าของเอกสารทุกครั้งที่มีการนำไปใช้

$$V_{error} = K_p v_{error} + K_i \int v_{error} dt + K_d \frac{dv_{error}}{dt} + v_o/dt \dots (26)$$

เมื่อ $K_p = R_2$, แถบของ ลัดส่วน (เกน)

$K_i = 1/R_1 C_1$, ค่าคงที่ของการอินทิเกรต

$K_d = R_D C_D$ ค่าคงที่แบบเดอริวาทีฟ

V_o = ค่าเริ่มต้นที่ซาร์จค่าเก็บประจุของตัวอินทิเกรต

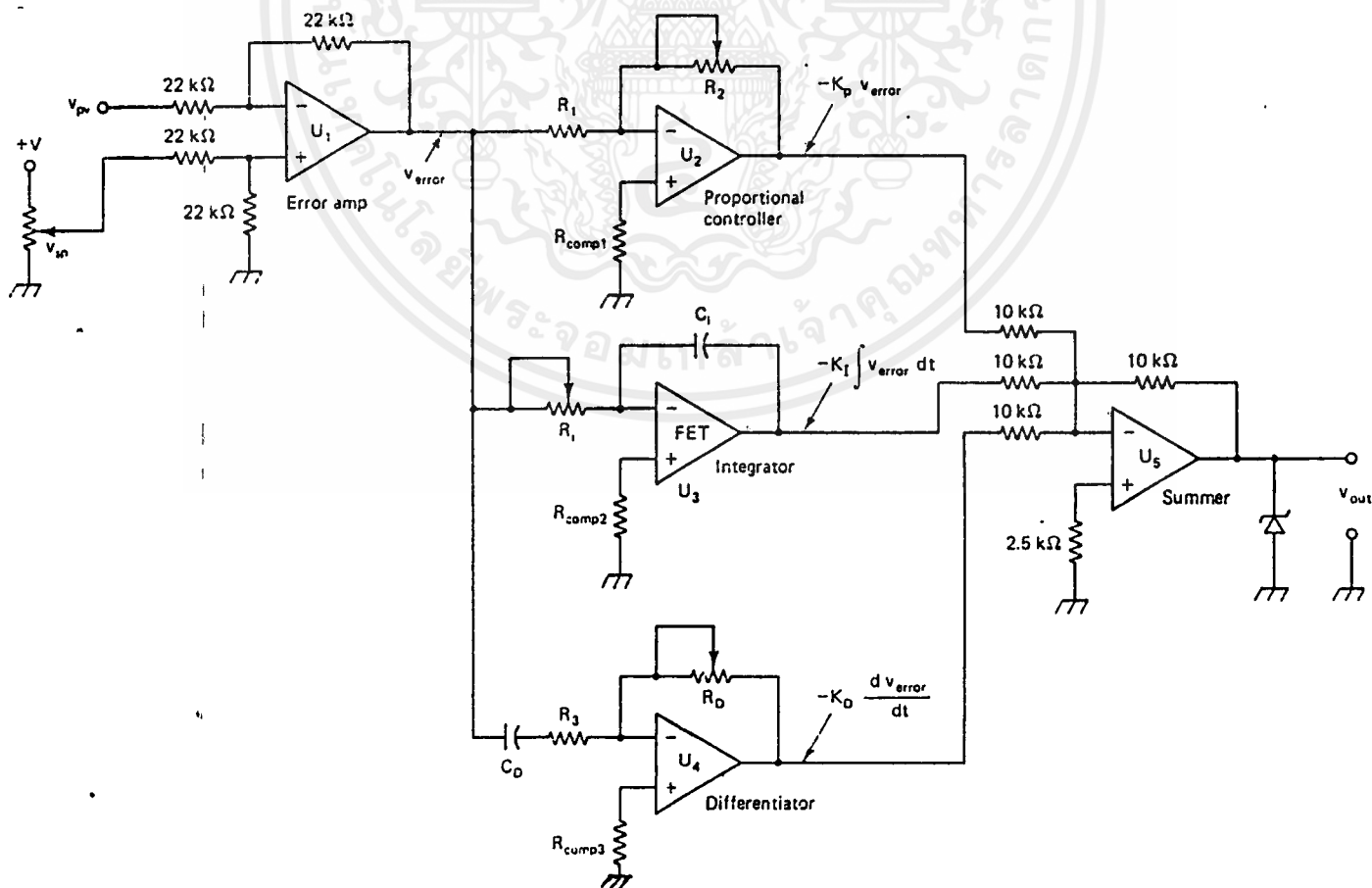
จากสมการที่ 26 แปลงเป็น Laplace Transform จะได้

$$V_{out} = K_p v_{error} + \frac{K_i v_{error}}{S} + K_D S v_{error}$$

$$\frac{V_{out}}{V_{error}} = K_p + K_i + K_D S = \frac{K_D S^2 + K_p S + K_i}{S}$$

หรือ
$$\frac{V_{out}}{V_{error}} = K_D S^2 + \frac{(K_p/K_D)S + K_i/K_D}{S}$$

นี่คือตัวควบคุม 3 โหมดแบบขนานดังรูปที่ 25 แต่ละเทอมจะขนานกันและมารวมกันที่ วงจรซัมเมอร์ (summer)



เอกสารนี้เป็นเอกสารที่สงวนไว้สำหรับการใช้งานเพื่อการศึกษาเท่านั้น ไม่อนุญาตให้นำไปใช้ประโยชน์ด้านการค้า
ไม่ว่ากรณีใดๆ ทั้งสิ้น อีกทั้งห้ามมิให้ดัดแปลงรูปที่ 25 PID แบบขนาน เอกสารทุกครั้งที่มีการนำไปใช้

บทที่ 3. ผลตอบสนองต่อระบบ (System Response)

3.1 ทรานเฟอร์ฟังก์ชันของระบบ(System Transfer function)พลังงานของอินพุท เอาท์พุทของระบบควบคุมเป็น PV ถ้าวิเคราะห์ระบบด้วยขบวนการ หรือการรบกวน โหลดเป็นการพิจารณาอินพุท

$$PV(s) = F(s) \times R(s)$$

เมื่อ PV = เอาท์พุทของระบบ, PV (Process variable)

F = สมรรถนะของระบบ

R = พลังงานของอินพุท หรือ การรบกวนโหลด

ฟังก์ชันการส่งผ่าน ของระบบกำหนดโดย

$$\text{Transfer function} = \frac{O/P(s)}{I/P(s)}$$

$$\text{สำหรับระบบที่วิเคราะห์เป็นขบวนการ TF} = \frac{PV(s)}{R(s)}$$

TF = Transfer function

O/P = เอาท์พุท

ระบบอาจเป็นแบบเซอร์โว เอาท์พุทจะยังคงเป็น PV (Process Variable) อย่างไรก็ตามอินพุทของระบบเซอร์โวจะพิจารณาที่จุด SP (set point)

$$PV(s) = F(s) \times SP(s)$$

$$\text{TF ของระบบเซอร์โว กำหนดให้ } \frac{PV(s)}{SP(s)}$$

TF โดยทั่วไปสำหรับขบวนการลูปปิดและเซอร์โวลูปปิด จะนำไปใช้ในการตัดสินใจ TF ของลำดับหนึ่ง และ ลำดับที่สอง (First Order and Second Order) ด้วยตัวควบคุมแบบ P,PI ซึ่งการป้อนกลับแบบลบ

3.1.1 การควบคุมขบวนการ (Process Control)

จุดประสงค์ของขบวนการเพื่อปรับเอาท์พุท SP จะกำหนดให้เหมาะสม การป้อนกลับแบบลบที่ใช้อินพุทที่กระตุ้นของระบบ เช่น ทางที่จะกำจัดหรือลดผลกระทบของตัวแปรของอินพุทที่กระตุ้นหรือโหลดที่ PV(เอาท์พุทของระบบ)สำหรับการเปลี่ยนแปลงอินพุท(พลังงาน เอกสารนี้เป็นเอกสารที่สงวนไว้สำหรับการใช้งานเพื่อการศึกษาเท่านั้น ไม่อนุญาตให้นำไปใช้ประโยชน์ด้านการค้า ไม่ว่ากรณีใดๆ ทั้งสิ้น อีกทั้งห้ามมิให้ตัดแปลงเนื้อหาและต้องอ้างอิงถึงเจ้าของเอกสารทุกครั้งที่มีการนำไปใช้

หรือการรบกวนไหล) เช่นระบบความร้อนในบ้าน ระบบควบคุมระดับและควบคุมการไหล โดยแแกรมของระบบควบคุมขบวนการดังรูปที่ 26 TF ขององค์ประกอบระบบคือ $G(s)$ รวมทั้งอินเทอร์เฟสกำลังและตัวกระทำ องค์ประกอบภายใต้เงื่อนไขของมันเองและทรานสดิวเซอร์ เงื่อนไขสัญญาณและการส่งจ่าย การกรองสัญญาณและ TF ของตัวควบคุมให้เป็น $H(s)$ คำวนการควบคุมแบบ PID 3 โหมด ดังนั้น SP จะมีค่าที่เหมาะสมและวิเคราะห์ขบวนการ

ลวิตซ์จะเปิดทางซ้ายในลูปแบบเปิด PV จะได้

$$PV(s) = G(s) \times R(s)$$

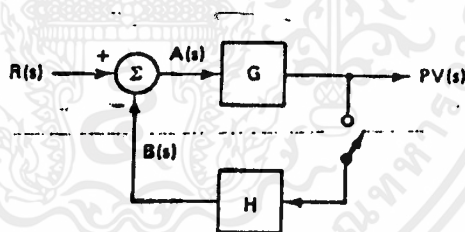
ดังนั้นการเปลี่ยนแปลงอินพุท $R(s)$ มีผลโดยตรงกับ PV

อย่างไรก็ตามการปิดลวิตซ์จะเป็นแบบลูปปิดตัวควบคุมจะเป็นอินพุท $R(s)$ ซึ่งจำเป็นต้องรักษา PV, $PV(s)$ เป็นค่าคงที่ ภายใต้การควบคุมลูปแบบปิด

$$PV(s) = G(s) \times A(s) \quad \dots (27)$$

$$\text{แต่ } A(s) = R(s) - B(s) \quad \dots (28)$$

$$B(s) = H(s) \times PV(s) \quad \dots (29)$$



รูปที่ 26 บล็อกไดอะแกรมลูปแบบปิด (Closed-loop block diagram)

แทน (29) ลงใน (28)

$$A(s) = R(s) - H(s) \times PV(s) \quad \dots (30)$$

แทน (30) ลงใน (27)

$$PV(s) = G(s)[R(s) - H(s) \times PV(s)] \quad \dots (31)$$

$$PV(s) = G(s)R(s) - G(s)H(s)PV(s)$$

$$PV(s) + G(s)H(s)PV(s) = G(s)R(s) \quad \dots (32)$$

เอกสารนี้เป็นเอกสารที่สงวนไว้สำหรับการใช้งานเพื่อการศึกษาเท่านั้น ไม่อนุญาตให้นำไปใช้ประโยชน์ด้านการค้า ไม่ว่าจะกรณีใดๆ ทั้งสิ้น อีกทั้งห้ามมิให้ตัดแปลงเนื้อหาและต้องอ้างอิงถึงเจ้าของเอกสารทุกครั้งที่มีการนำไปใช้

$$PV(s)[1+G(s)H(s)] = G(s)R(s)$$

สมการ TF ของระบบทั้งหมดหรือเป็นการป้อนกลับแบบลบใช้ $PV(s)/P(s)$ แก่สมการ (3.9) ในระบบ TF

$$\frac{PV(s)}{R(s)} = \frac{G(s)}{1+G(s)H(s)} \quad \dots(33)$$

แล้วนำรูปแบบนี้ไปใช้กับออปแอมป์ที่ป้อนกลับแบบลบ

$$A_{c1} = \frac{A_{o1}}{1+\beta A_{o1}}$$

เมื่อ A_{c1} = ค่าเกนของออปแอมป์ป้อนกลับแบบปิด

A_{o1} = เกนของระบบลูปแบบเปิดของออปแอมป์

β = อัตราลดทอนของวงจรป้อนกลับ

3.1.2 การควบคุมแบบเซอร์โว (Servo Control)

จุดประสงค์ของระบบควบคุมขบวนการรักษา PV ให้ปรับได้พอดี การเปลี่ยนอินพุทหรือโหลดแสดงถึงฟังก์ชันอินพุท ตัวควบคุมรักษาเอาท์พุทให้คงที่โดยอินพุทเปลี่ยนแปลงดังนั้น SP จะคงที่รวมทั้งบล็อกตัวควบคุมภายใน

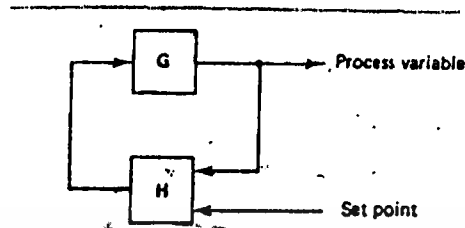
ระบบเซอร์โวเอาท์พุทของระบบเซอร์โวยังคงเป็นค่า PV อย่างไรก็ตามอินพุทของเซอร์โวจะพิจารณาที่ SP

$$PV(s) = F(s) \times SP(s)$$

$$TF \text{ ของระบบ servo โดยกำหนดให้ } \frac{PV(s)}{SP(s)}$$

จุดประสงค์ของระบบควบคุมเซอร์โวทำให้ PV นำไปสู่การติดตาม SP ภายใต้การควบคุมเซอร์โวที่ลบบูธแบบ PV จะมีค่าเท่ากับ SP เหมือนกับว่า SP เปลี่ยนแปลงระยะของมัน สมมติว่าอินพุทและโหลดยังคงที่อยู่ ดังนั้นจึงไม่แสดงบล็อกไดอะแกรม การควบคุมของเซอร์โวในรูปที่ 27 เหมือนกับ block diagram ที่ควบคุมขบวนการในรูป 26 ตัวกระทำการอินเตอร์เฟสทางไฟฟ้าและการควบคุมอุปกรณ์ในบล็อกแทนด้วย G และ ทางอิเล็กทรอนิกส์ที่เหลืออยู่และตัวควบคุมในบล็อกที่ป้อนกลับ H ผลกระทบของการเปลี่ยนแปลงใน SP จะต้องเอกสารนี้เป็นเอกสารที่สงวนไว้สำหรับการใช้งานเพื่อการศึกษาเท่านั้น ไม่อนุญาตให้นำไปใช้ประโยชน์ด้านการค้า ไม่ว่ากรณีใดๆ ทั้งสิ้น อีกทั้งห้ามมิให้ตัดแปลงเนื้อหาและต้องอ้างอิงถึงเจ้าของเอกสารทุกครั้งที่มีการนำไปใช้

ประเมินค่าได้ อินพุทที่ SP รวมทั้งอินพุทในการป้อนกลับ

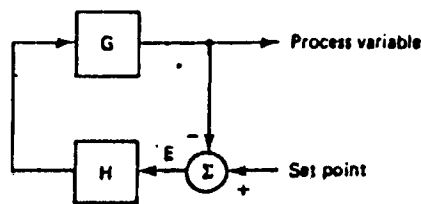


รูปที่ 27 บล็อกไดอะแกรมการควบคุมเซอร์โวเริ่มต้น (Initial Servo Control block diagram)

ตัวควบคุมที่กระทำในสัญญาณค่าความผิดพลาดคือ

$$\text{error} = \text{setpoint} - \text{process variable}$$

รูปที่ 28 การคำนวณความแตกต่างทำได้ถูกต้อง บล็อกที่รวมกับที่ใช้มีอินพุทเป็นบวกและลบแต่รูปนี้ไม่ถูกต้องโดยที่เดียว บล็อกไดอะแกรมที่เป็นมาตรฐานจะมีอินพุททางด้านซ้าย สัญญาณที่กระทำในแนวตามบล็อก เริ่มจากซ้ายไปขวา เอาท์พุทสุดท้ายอยู่ขวามือ รูปที่ 29 แสดงการจัดเรียงใหม่อย่างดี ไดอะแกรมนี้ให้ทางเข้าต่างกับของระบบควบคุมแบบเซอร์โวตัวควบคุมจะใช้เวลาไม่นานในการป้อนกลับแทนที่บล็อกแรกจะพบว่าอินพุทเช่น SP ตัวควบคุมอยู่ภายใต้การควบคุมตามลำดับเป็นการป้อนกลับแบบไม่เป็นลบ เอาท์พุททั้งหมด (PV) ทำตัวเป็นป้อนกลับแบบลบ เรียกว่าการป้อนกลับแบบลบ 100 %



รูปที่ 28 ตัวควบคุมเซอร์โวด้วยบล็อกที่มีความผิดพลาด

เอกสารนี้เป็นเอกสารที่สงวนไว้สำหรับการใช้งานเพื่อการศึกษาเท่านั้น ไม่อนุญาตให้นำไปใช้ประโยชน์ด้านการค้า ไม่ว่าจะกรณีใดๆ ทั้งสิ้น อีกทั้งห้ามมิให้ตัดแปลงเนื้อหาและต้องอ้างอิงถึงเจ้าของเอกสารทุกครั้งที่มีการนำไปใช้

จุดประสงค์ของควบคุมแบบเซอร์โวเพื่อที่จะทำให้ PV หรือเอาต์พุตเท่ากับ SP หรืออินพุตโดยที่พลังงานอินพุตและโพลดิฟิการ์นาให้คงที่

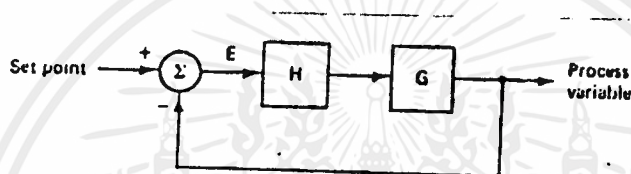
ถ้าไม่มีการป้อนกลับแบบลบการเปลี่ยนแปลงของ SP ผ่านไปยังเอาต์พุตได้ฟังก์ชันการส่งผ่านของ $H(s)$ และ $G(s)$

$$PV(s) = SP(s) [H(s) \times G(s)]$$

ระบบควบคุมแบบปิดฟังก์ชันการส่งผ่านเป็น

$$\frac{PV(s)}{SP(s)} = H(s) \times G(s)$$

เมื่อการป้อนกลับแบบลบ ถูกนำมาใช้ในการเปลี่ยนแปลง ดังรูปที่ 29



รูปที่ 29 บล็อกไดอะแกรมควบคุมเซอร์โวที่ใช้กันมา

$$PV(s) = G(s) \times H(s) \times E(s)$$

$$\text{เมื่อ } E(s) = SP(s) - PV(s)$$

E เป็นค่าความผิดพลาด เป็นผลต่างระหว่างอินพุต (SP) กับการป้อนกลับ (PV) แทน (11) ใน (10)

$$PV(s) = G(s) \times H(s) [SP(s) - PV(s)]$$

$$PV(s) = [G(s) \times H(s) \times SP(s)] - [G(s)H(s)PV(s)]$$

$$PV(s) = [1 + G(s)H(s)] = G(s)H(s)SP(s)$$

$$PV(s) = \frac{G(s)H(s)SP(s)}{1 + G(s)H(s)}$$

TF ของ closed - loop ลูปแบบปิดของระบบควบคุมแบบเซอร์โว

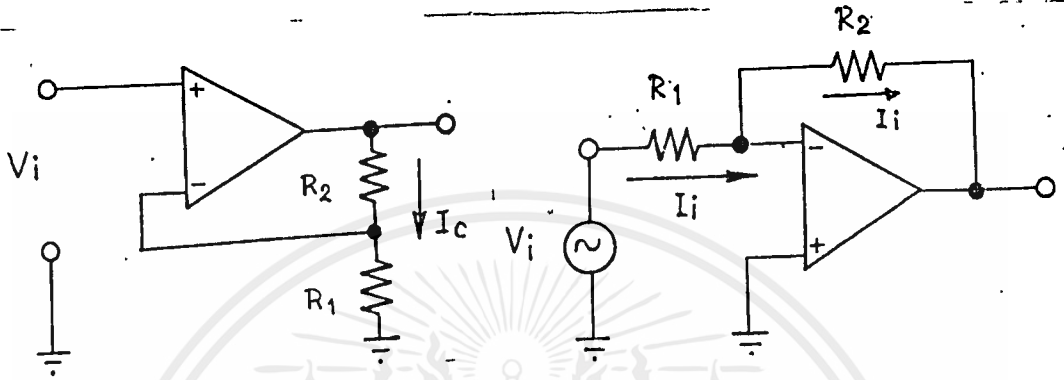
$$\frac{PV(s)}{SP(s)} = \frac{G(s)H(s)}{1 + G(s)H(s)}$$

TF ของลูปแบบปิดของเซอร์โวมี TF ของตัวควบคุมในส่วนบนส่วน TF ลูปปิดของขบวนการไม่มี

เอกสารนี้เป็นเอกสารที่สงวนไว้สำหรับการใช้งานเพื่อการศึกษาเท่านั้น ไม่อนุญาตให้นำไปใช้ประโยชน์ด้านการค้า ไม่ว่ากรณีใดๆ ทั้งสิ้น อีกทั้งห้ามมิให้ตัดแปลงเนื้อหาและต้องอ้างอิงถึงเจ้าของเอกสารทุกครั้งที่มีการนำไปใช้

บทที่ 4. วงจรเปลี่ยนแรงดันเป็นกระแส (Voltage To Current Converter)

วงจรรขยายสัญญาณของโอเพอร์เรชันแนล (ออปแอมป์) และป้อนกลับทั้งสองแบบคือแบบไม่กลับเฟสและแบบกลับเฟส ปรกติทำหน้าที่เปลี่ยนแรงดันเป็นกระแส และวงจรกระแสเป็นแรงดันตามลำดับ ดังรูปที่ 30

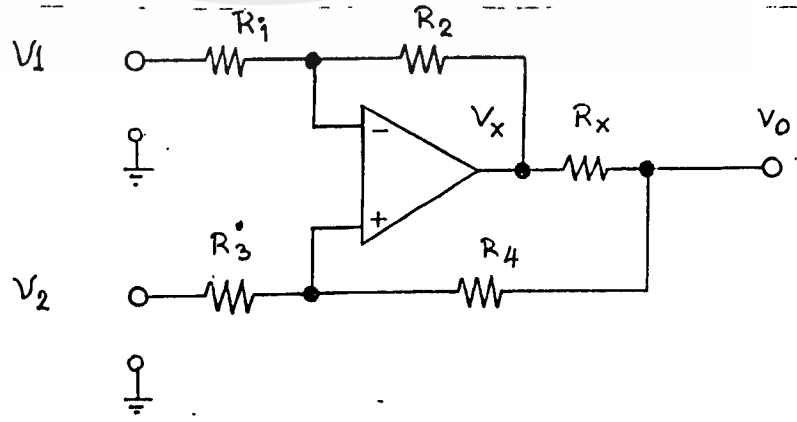


รูปที่ 30 (a) วงจรเปลี่ยนแรงดันเป็นกระแส
(b) วงจรเปลี่ยนกระแสเป็นแรงดัน

ซึ่งวงจรเปลี่ยนแรงดันเป็นกระแสคือ รูปที่ 30 (a) จะได้ว่า

$$V_i = I_o R_1 \dots (34)$$

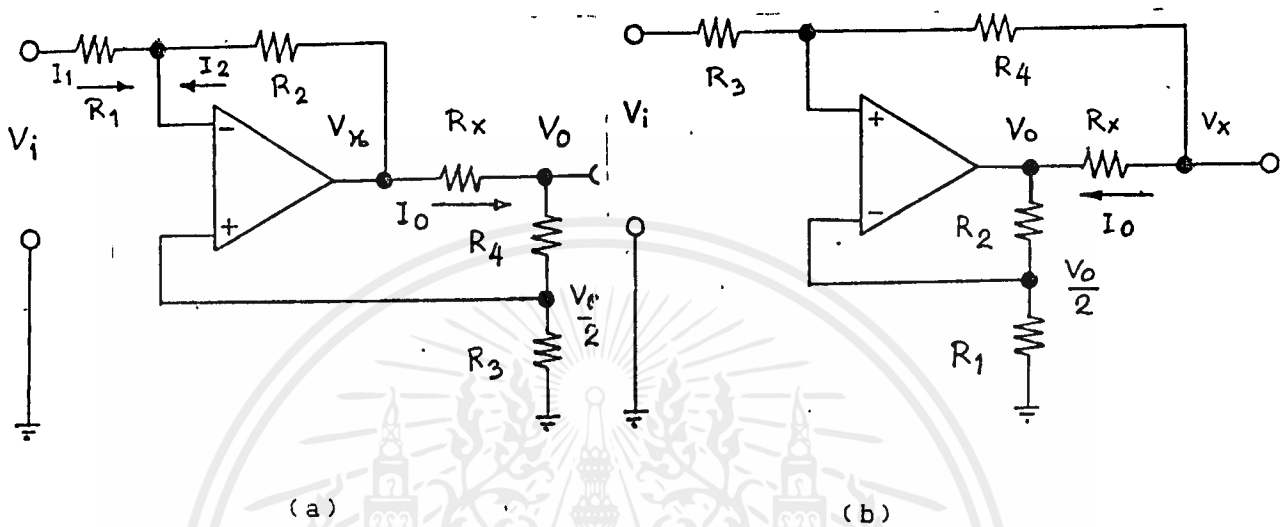
จากสมการที่ 34 อธิบายการทำงานของวงจรรูปที่ 30(a) ได้ดังนี้ แรงดัน (V_i) ทางเข้าจะเปลี่ยนเป็นกระแสทางออก (I_o) ได้ แต่วงจรมันยังไม่ได้รับการชดเชยนารามิเตอร์ต่างๆ และยังสมบูรณ์สำหรับการทำงานตามข้อกำหนดมาตรฐาน จึงปรับปรุงใหม่ได้ดังนี้



รูปที่ 31 วงจรเปลี่ยนแรงดันเป็นกระแส

เอกสารนี้เป็นเอกสารที่สงวนไว้สำหรับการใช้งานเพื่อการศึกษาเท่านั้น ไม่อนุญาตให้นำไปใช้ประโยชน์ด้านการค้า ไม่ว่าจะกรณีใด ทั้งสิ้น อีกทั้งห้ามมิให้ตัดแปลงเนื้อหาและต้องอ้างอิงถึงเจ้าของเอกสารทุกครั้งที่มีการนำไปใช้

วงจรรูปที่ 31 สามารถกำหนดการไหลของกระแสผ่านโหลดได้ ทั้ง 2 ลักษณะคือ
 จ่ายกระแสออก (Current Source) และดึงกระแสเข้า (Current Sink) จากวงจร
 วงจรนี้ยังลดปัญหาของอิมพีแดนซ์ทางเข้าของวงจร ด้วยการวิเคราะห์ห้วงจรรูปที่ 31 ทำได้
 2 ลักษณะดังรูปที่ 32



รูปที่ 32

จากรูป 32(a) พบว่า $I_1 = I_2$... (34)

เมื่อเรากำหนดให้ $R_3 = R_4$ ความล้มพันธ์ของ V_x, V_1 และ V_o โดยพิจารณาจาก
 สมการที่ 34 จะได้

$$[V_1 - (V_o/2)]/R_1 = -[V_x - (V_o/2)]/R_2 \quad \dots (35)$$

$$V_x/V_2 = [(V_o/2R_1) + (V_o/2R_2)] - V_1/R_2 \quad \dots (36)$$

เมื่อกำหนดให้ $R_1 = R_2$ จะได้

$$V_x = V_o - V_1 \quad \dots (37)$$

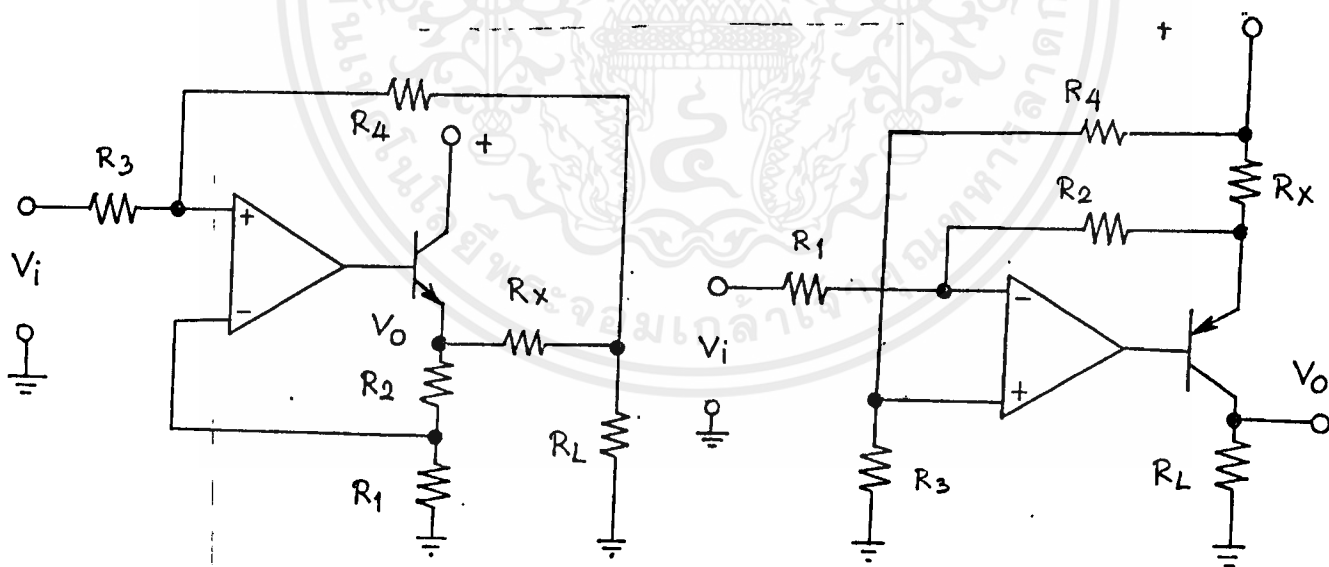
สำหรับวงจรในรูปที่ 32(b) พิสูจน์ได้ทำนองเดียวกัน และสรุปได้เช่นเดียวกับสมการที่ 37 ความสัมพันธ์ในการเปลี่ยนแรงดันเป็นกระแสได้โดย

$$I_o = (V_o - V_x) / R_x \quad \dots (38)$$

แทนค่าสมการที่ 37 ในสมการที่ 38 จะได้

$$I_o = V_i / R_x \quad \dots (39)$$

ในรูปที่ 32 ยังไม่สามารถจ่ายกระแสให้แก่โหลดได้ถึง 20 mA จำเป็นต้องมีทรานซิสเตอร์ช่วยในการขยายกระแสให้แก่ออปแอมป์และยังทำให้วงจรทำงานได้เป็นปกติ จากรูปที่ 32 สามารถเขียนใหม่ได้เป็นรูปที่ 33

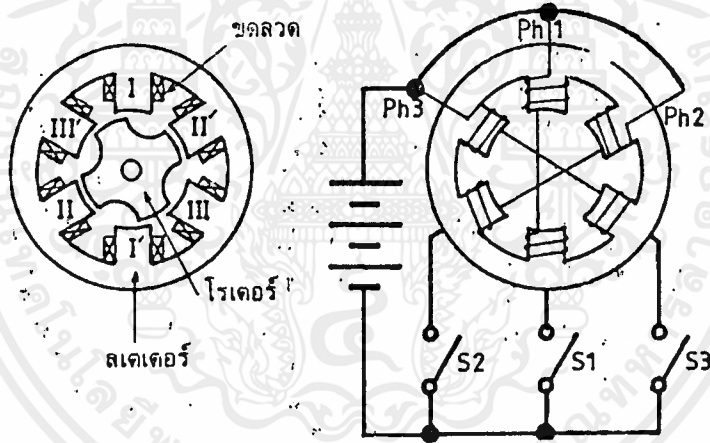


รูปที่ 33

บทที่ 5 ชนิดและการทำงานของสเตปปีงมอเตอร์

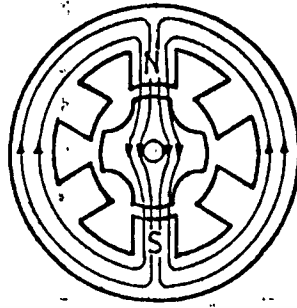
สเตปปีงมอเตอร์แบ่งออกได้หลายชนิดด้วยกัน เช่น Variable - Reluctance, Permanent Magnet, Hybrid, Linear, ฯลฯ ที่ใช้งานกันบ่อยๆ คือแบบ Variable-Reluctance และ Permanent Magnet

Variable-Reluctance หรือ เรียกสั้นๆว่า VR มอเตอร์จะเป็นพื้นฐานสำคัญในการทำงานสเตปปีงมอเตอร์ชนิดอื่นๆได้ง่ายยิ่งขึ้น รูปที่ 34 เป็นภาพหน้าตัดและยังแสดงถึงการพันขดลวด VR มอเตอร์แบบ 3 เฟส มีขั้วเหนือและขั้วใต้อยู่ตรงกันข้ามกัน 3 คู่ โดยจะพันขดลวดแบบอนุกรมกันในแต่ละขด ถ้ามีการกระตุ้นเฟสเกิดขึ้นขั้ว I', II', III' จะเป็นขั้วเหนือ ทั้งโรเตอร์และสเตเตอร์ จะทำจากเหล็กผสมซิลิคอน ซึ่งเป็นวัสดุที่มีค่าความซึมซับ (permeability) สูง สามารถให้เส้นแรงแม่เหล็กไหลผ่านได้มาก



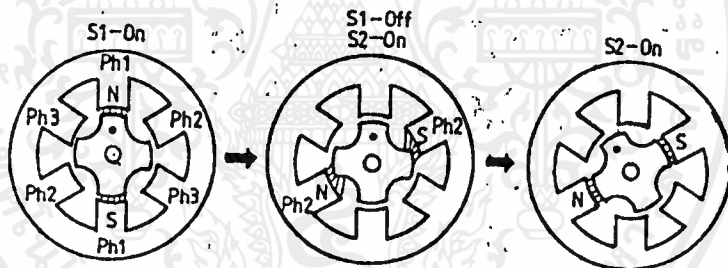
รูปที่ 34 ภาพหน้าตัดและการพันขดลวดของ VR สเตปปีงมอเตอร์แบบ 3 เฟส

การทำงานเริ่มจากการกระตุ้นที่เฟส 1 ก่อน (s_1 "ON") ซึ่งจะทำให้เส้นแรงแม่เหล็กเกิดขึ้นดังรูปที่ 35 ตัวโรเตอร์จะพยายามวางตำแหน่งตัวเองให้อยู่ในทิศทางที่ทำให้เกิดค่าความต้านทานแม่เหล็กน้อยที่สุด ในแนวขั้ว I-I'



รูปที่ 35 แสดงเส้นแรงแม่เหล็กขณะกระตุ้นเฟส

ในขณะที่เริ่มต้นที่จะกระตุ้นที่เฟส II (s_1 "OFF", s_2 "ON") ดังรูปที่ 36 เส้นแรงแม่เหล็กจะไม่อยู่ในแนวทางเดินที่สะดวก จึงทำให้ค่าความต้านทานแม่เหล็กมีค่าสูง

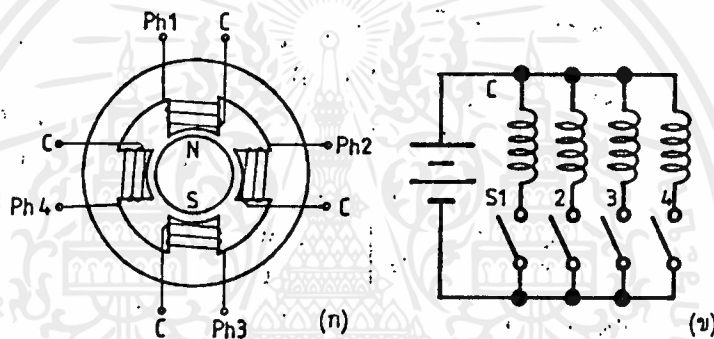


รูปที่ 36 แสดงขั้นตอนการหมุนเมื่อมีการกระตุ้นเฟสจาก เฟส 1 ไปยัง เฟส 2

ตัวโรเตอร์ก็จะพยายามปรับตัวเองเพื่อให้ค่าความต้านทานแม่เหล็กน้อยที่สุดด้วยการหมุนไปในทิศทางทวนเข็มนาฬิกาซึ่งแรงบิดที่ใช้หมุนเกิดจากแรงของเส้นแรงแม่เหล็กแล้วจะไปหยุดที่ตำแหน่งความต้านทานแม่เหล็กน้อยที่สุดนั่นคือจะหมุนไป 1 สเตป หรือ 30 องศา นั่นเอง ความสัมพันธ์ระหว่างจำนวนสเตปของการหมุนโรเตอร์ไป 1 รอบ (s) มุมที่เปลี่ยนไปใน 1 สเตป (θ_s) จำนวนเฟสของสเตเตอร์ (m) และจำนวนฟันของโรเตอร์ (N_r) แสดงได้ดังสมการที่ 40

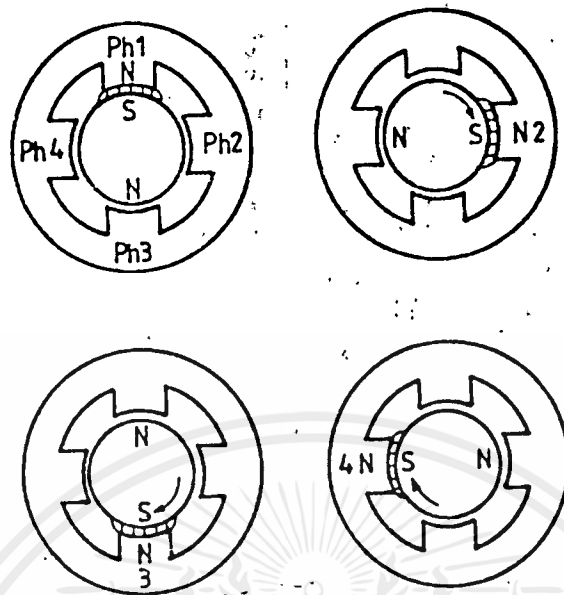
$$s = 360/\theta_p = mN_p \dots (40)$$

ตัวอย่างเช่น สเตปปีงมอเตอร์ตัวหนึ่งมี $m = 3$, $N_p = 4$ ก็จะได้ $s = 3 \times 4 = 12$ สเตป และมุมใน $\theta_p = 360/12 = 30$ องศาซึ่งจากสมการ (40) ยังทำให้ทราบอีกว่า ถ้าจะลดค่า θ_p ให้น้อยลง อาจทำได้โดยการเพิ่มค่าของ m หรือและ N_p ให้สูงขึ้น และลดช่องว่างระหว่างโรเตอร์กับสเตเตอร์ ให้มีค่าน้อย ๆ เพื่อให้เกิดแรงบิดสูงสุด และยังมีผลต่อความเที่ยงตรงของตำแหน่งมากยิ่งขึ้นด้วย



รูปที่ 37 (ก) ภาพหน้าตัดของ PM สเตปปีงมอเตอร์แบบ 4 เฟส
(ข) วงจรกระตุ้นเฟสพื้นฐาน สำหรับ PM มอเตอร์ 4 เฟส

Permanent Magnet หรือเรียกสั้นๆ ว่า PM มอเตอร์ จะมีข้อแตกต่างที่สำคัญจาก VR มอเตอร์ ก็คือ โรเตอร์จะเป็นแม่เหล็กถาวร จึงทำให้การผันขดลวดที่สเตเตอร์ต้องแตกต่างกันไปด้วย ดังแสดงในรูปที่ 37 (ก) จะเห็นว่าสเตเตอร์ในแต่ละขั้วจะมีขดลวดพันอยู่ ซึ่งถือว่าแต่ละขั้วคือหนึ่งเฟส ดังนั้นจากรูปจึงมีทั้งหมด 4 เฟส ด้วยกัน สำหรับการต่อวงจรกระตุ้นเฟสมอเตอร์อย่างง่ายแสดงไว้ในรูปที่ 37 (ข) จะเห็นปลายขดลวด (c) ของทุกเฟสจะต่อร่วมกันถึงขั้วบวกของแหล่งจ่ายไฟ ดังนั้นเมื่อเกิดการกระตุ้นที่เฟสใดแล้ว ขั้วสเตเตอร์ที่เฟสนั้นก็กลายเป็นขั้วเหนือ รูปที่ 38 จะเป็นการแสดงตำแหน่งของโรเตอร์ในแต่ละสเตป หลังจากถูกกระตุ้นที่เฟส 1-2-3-4 ตามลำดับ



รูปที่ 38 ลำดับขั้นการหมุนในมอเตอร์ 4 เฟส

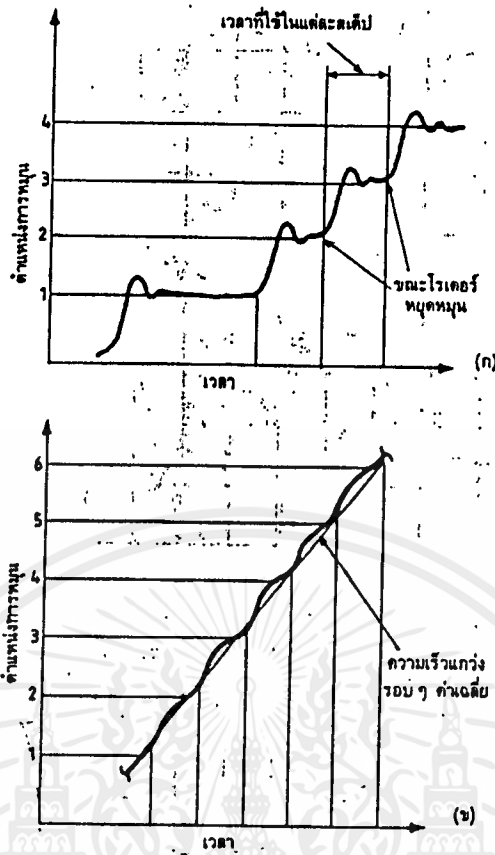
และจะหมุนไปในทิศทางตามเข็มนาฬิกา ทุก 90 องศาต่อสเตป ถ้าต้องการจะให้มุมองศาต่อสเตปมีค่าลดลง หรือมีความละเอียดในตำแหน่งมากขึ้นจะต้องเพิ่มจำนวนเฟสของสเตเตอร์และจำนวนขั้วแม่เหล็กของโรเตอร์ให้มากขึ้น ข้อเสียของ PM มอเตอร์คือมีราคาแพง และความหนาแน่นของเส้นแรงแม่เหล็กจะถูกจำกัดโดยเส้นแรงแม่เหล็กภายใน (magnetic remanence) ของแม่เหล็กถาวรทำให้ไม่สามารถผลิตแรงบิดได้มาก

โหมดการทำงานของสเตปปีงมอเตอร์

ถ้าจะแบ่งโหมดการทำงานของสเตปปีงมอเตอร์ ตามอัตราเร็วของสเตปแต่ละสเตป จะแบ่งออกได้เป็น 2 โหมดคือ หมุนเป็นสเตป (discrete stepping mode) และหมุนแบบต่อเนื่อง (slewing mode)

โดยถ้าการหมุนเป็นแบบสเตปและมีเวลาหยุดนิ่งก่อนที่จะเปลี่ยนเป็นสเตปถัดไป ก็ จะเรียกการทำงานในโหมดนี้ว่า การหมุนเป็นสเตป ดังแสดงในรูปที่ 39 (ก)

เอกสารนี้เป็นเอกสารที่สงวนไว้สำหรับการใช้งานเพื่อการศึกษาเท่านั้น ไม่อนุญาตให้นำไปใช้ประโยชน์ด้านการค้า ไม่ว่ากรณีใดๆ ทั้งสิ้น อีกทั้งห้ามมิให้ตัดแปลงเนื้อหาและต้องอ้างอิงถึงเจ้าของเอกสารทุกครั้งที่มีการนำไปใช้



รูปที่ 39 กราฟแสดงสแตปของการหมุนในโหมดการทำงานแบบ

- (ก) หมุนเป็นสแตป
- (ข) หมุนต่อเนื่อง

สำหรับตัวอย่างของเครื่องใช้ที่ทำงานในโหมดนี้คือเครื่องเจาะบัตรการทำงานคร่าวๆ ก็คือ สแตปปีงมอเตอร์จะเป็นส่งแถบกระดาษเข้าไปในเครื่องปรุกระดาษ เพื่อบันทึกข้อมูลลงใน แถบกระดาษ ซึ่งการหมุนของสแตปปีงมอเตอร์จะหมุนไปแล้วหยุดชั่วขณะ เพื่อปรุกระดาษ ให้เรียบร้อยก่อน แล้วจึงค่อยหมุนต่อไปยังตำแหน่งเจาะใหม่

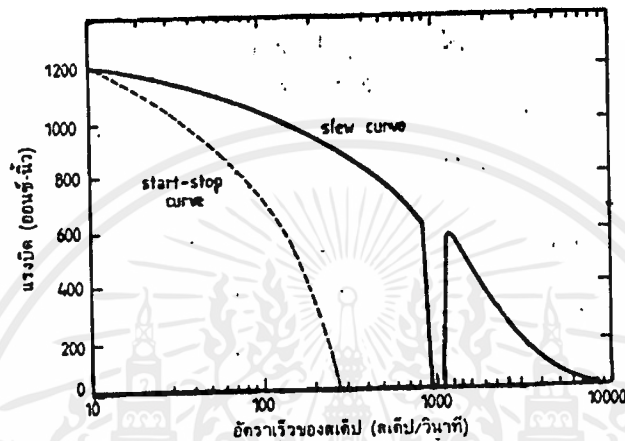
ถ้าเพิ่มอัตราเร็วของในแต่ละสแตปให้เร็วขึ้น และเป็นไปอย่างต่อเนื่องไม่มีการ หยุดนิ่งจะเรียกกำหนดการทำงานนี้ว่า การหมุนแบบต่อเนื่อง ดังแสดงในรูปที่ 39 (ข) ซึ่งสามารถหาความสัมพันธ์ระหว่างความเร็วรอบของมอเตอร์ (n) กับอัตราเร็วของสแตป (f) และจำนวนสแตปทั้งหมด (s) ได้ดังสมการ

$$n = 60 f/s$$

$$\dots (41)$$

กราฟคุณลักษณะของสแตปปีงมอเตอร์

กราฟคุณลักษณะของสแตปปีงมอเตอร์จะเป็นการแสดงความสัมพันธ์ระหว่างอัตราเร็วของสแตปกับแรงบิดที่แสดงในรูปที่ 40



รูปที่ 40 กราฟแสดงความสัมพันธ์ระหว่างอัตราเร็วของสแตปกับแรงบิดของการทำงานทั้ง 2 โหมดของสแตปปีงมอเตอร์

สำหรับกราฟเส้นประ เรียกว่า start curve หรือ single step load curve เป็นกราฟที่อยู่ในโหมดการหมุนเป็นสแตป และเป็นกราฟที่แสดงถึงย่านของแรงบิดที่มอเตอร์สามารถเริ่มและหยุดหมุนได้ โดยปราศจากความผิดพลาดแม้ที่อัตราเร็วของสแตปต่างกัน และกราฟอีกเส้นคือ slew curve ซึ่งทำงานอยู่ในโหมดการหมุนต่อเนื่อง จะเป็นกราฟที่แสดงถึงค่าแรงบิดสูงสุดที่สแตปปีงมอเตอร์ สามารถทำได้ที่อัตราเร็วของสแตปปีงต่างกัน ถ้ามีการใช้งานสแตปปีงมอเตอร์เหนือกราฟนี้ก็อาจทำให้เกิดความผิดพลาดได้ในทางตรงข้าม ถ้าใช้งานอยู่ภายใต้กราฟนี้ แม้จะควบคุมแบบระบบเปิดก็มั่นใจได้ว่าทั้งตำแหน่งและความเร็วมีความเที่ยงตรงแน่นอน โดยตำแหน่งมอเตอร์สามารถคำนวณได้จากสมการ

$$\text{มุมที่เปลี่ยนไป} = \text{มุมใน 1 สแตป} * \text{จำนวนพัลส์ที่ป้อนเข้า} \dots (42)$$

ส่วนความเร็วสามารถคำนวณได้จากสมการ (41) สำหรับช่วงที่เส้นกราฟขาดหายไปของ slew curve นั้นเป็นย่านรีโซแนนซ์ (resonant region) ซึ่งเป็นจุดอ่อนสำคัญที่ต้องคำนึงถึงในการพิจารณาใช้งาน เพราะช่วงนี้เป็นช่วงที่ไม่เสถียรและควบคุมไม่ได้

วิธีการกระตุ้นเฟส

การที่จะทำให้สแตปปีงมอเตอร์หมุนได้อย่างต่อเนื่องเหมือนกับการหมุนของมอเตอร์ไฟฟ้ากระแสตรงนั้น จะต้องมีการจ่ายพัลส์เป็นลำดับอย่างต่อเนื่อง วิธีการที่จะกระตุ้นเฟสมีด้วยกันหลายวิธี แต่จะอธิบายเพียง 3 วิธีเท่านั้น เริ่มจากแบบแรกคือ การกระตุ้นเฟสเดี่ยว (single-phase excitation) เป็นการกระตุ้นเฟสเพียงเฟสเดียวเท่านั้นที่จังหวะสัญญาณนาฬิกาหนึ่งๆ แบบที่สองคือ การกระตุ้นเฟสแบบคู่ (two-phase excitation) ก็จะมีการกระตุ้นเฟสสองเฟส พร้อมกันในจังหวะสัญญาณนาฬิกาหนึ่งๆ

สำหรับแบบสุดท้ายเป็นการกระตุ้นแบบกึ่งสแตป (half-step excitation) ก็จะเป็นการรวมเอาสองแบบแรกเข้าด้วยกัน โดยจะกระตุ้นเฟสแบบที่ 1 และแบบที่ 2 สลับกันไป การกระตุ้นเฟสของทั้ง 3 แบบดูได้จากตารางในรูปที่ 41

จังหวะสัญญาณนาฬิกา	R	1	2	3	4	5	6	7	8	9	10
เฟส 1	■			■			■			■	
เฟส 2		■			■			■			■
เฟส 3			■			■			■		

(ก)

จังหวะสัญญาณนาฬิกา	R	1	2	3	4	5	6	7	8	9	10
เฟส 1	■	■			■	■			■	■	
เฟส 2		■	■			■	■			■	■
เฟส 3			■	■			■	■			■

(ข)

จังหวะสัญญาณ นาฬิกา	R	1	2	3	4	5	6	7	8	9	10
เฟส 1	■	■				■	■	■			
เฟส 2		■	■	■				■	■	■	
เฟส 3				■	■	■				■	■

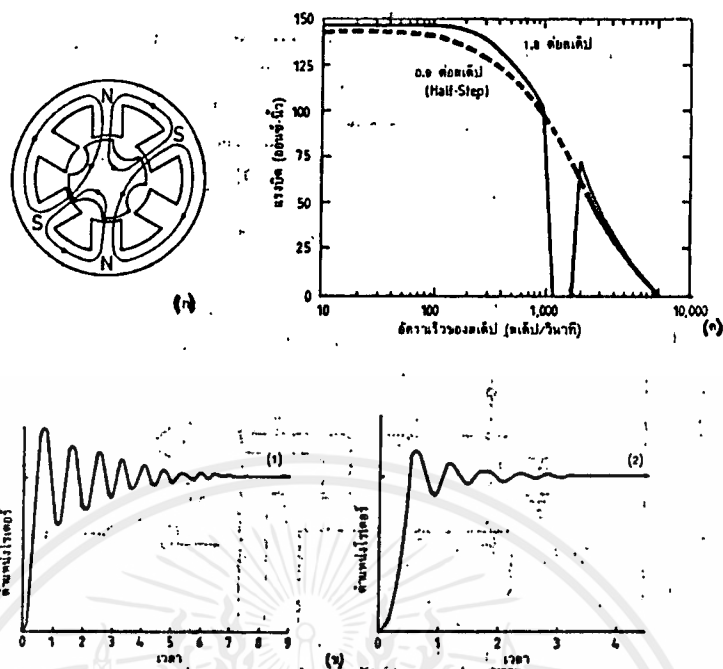
(ก)

รูปที่ 41 ตารางแสดงการกระตุ้นเฟส

- (ก) แบบเฟสเดียว (single-phase) (ข) แบบเฟสคู่ (two-phase)
(ค) แบบกึ่งสเตป (half-phase)

ในการกระตุ้นเฟสแบบเฟสคู่ จะมีทิศทางของเส้นและแม่เหล็กไม่เป็นเส้นตรง เหมือนกับแบบกระตุ้นแบบเฟสเดียว ดังแสดงในรูปที่ 42(ก) แต่ถึงกระนั้นค่ามุมที่เปลี่ยนไปใน 1 สเตป ก็ยังคงมีค่าเท่าเดิมเหมือนกับแบบกระตุ้นแบบเฟสเดียว สำหรับการกระตุ้นแบบกึ่งสเตป ค่ามุมที่เปลี่ยนไปใน 1 สเตป จะมีค่าลดลงครึ่งหนึ่ง การกระตุ้นแบบเฟสคู่ จะเกิดแรงบิดได้มากกว่าการกระตุ้นแบบเฟสเดียว ขณะเดียวกันยังสามารถเข้าตำแหน่งในแต่ละสเตปได้เร็วกว่าด้วย ดังแสดงในรูปที่ 42(ข)

ข้อดีอีกอย่างหนึ่งสำหรับการกระตุ้นเฟสแบบกึ่งสเตปคือ สามารถลดผลกระทบเนื่องมาจากย่านเรโซแนนซ์ได้ แต่ที่ความถี่ต่ำๆ จะมีค่าแรงบิดลดลง ดังแสดงในรูปที่ 42(ค) และสำหรับทิศทางทวนของมอเตอร์ ขึ้นอยู่กับทิศทางของลำดับเฟสที่ถูกกระตุ้นด้วย

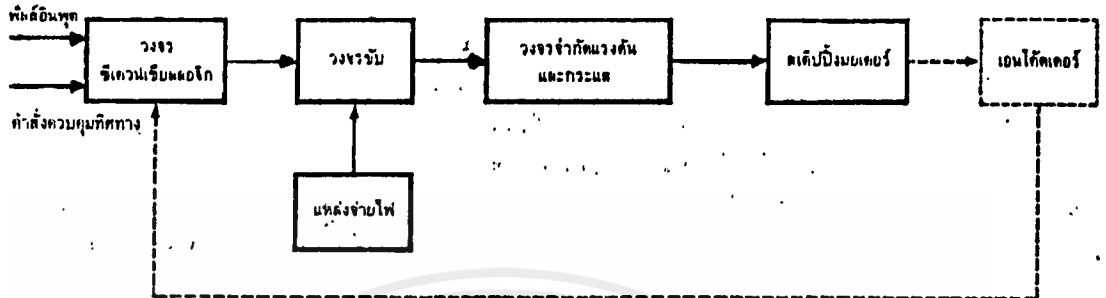


รูปที่ 42 (ก) แสดงเส้นทางเดินของเส้นแรงแม่เหล็กในการกระตุ้นแบบเฟสคู่
 (ข) แสดงการเข้าตำแหน่งของโรเตอร์ที่สเตปหนึ่งๆของแบบ
 1. กระตุ้นแบบเฟสเดียว 2. กระตุ้นแบบเฟสคู่
 (ค) กราฟคุณลักษณะของการกระตุ้นเฟสแบบกึ่งสเตป (เส้นประ) และแบบเฟสคู่

การควบคุมสเตปปีงมอเตอร์

บล็อกไดอะแกรมสำหรับการควบคุมสเตปปีงมอเตอร์ แสดงดังรูปที่ 43 เป็นวงจรซีควเอนเชียลลอจิก จะรับพัลส์อินพุต และคำสั่งควบคุมทิศทางแล้วจึงผลิตพัลส์ที่ใช้ในการกระตุ้นเฟสของมอเตอร์ออกไป แต่จะมีระดับของสัญญาณต่ำ จึงต้องนำสัญญาณนี้ไปผ่านวงจรขับเพื่อให้ระดับของสัญญาณสูงขึ้น และจะมีวงจรจำกัดกระแสและแรงดัน ทำหน้าที่เป็นบัฟเฟอร์ให้กับวงจรขับและมอเตอร์ จากบล็อกไดอะแกรมจะเห็นว่า ไม่จำเป็นต้องต่อวงจรเอ็นโค้ดเดอร์ ป้อนสัญญาณกลับเพื่อควบคุมตำแหน่งและความเร็ว แต่ในบางครั้งเช่นในกรณีที่มีความสัมพันธ์ของการเคลื่อนที่ระหว่างแกนหมุนของมอเตอร์กับตำแหน่งของโหลด ไม่ตรงกัน อันเกิดจากความผิดพลาดของเฟืองเกียร์ หรือในกรณีที่โหลดบางอย่าง ทำให้เกิดการผิดพลาดของสเตปขึ้น ก็จำเป็นที่จะต้องมีการใช้สัญญาณป้อนกลับ เพื่อควบคุมตำแหน่งและความเร็วให้ถูกต้อง

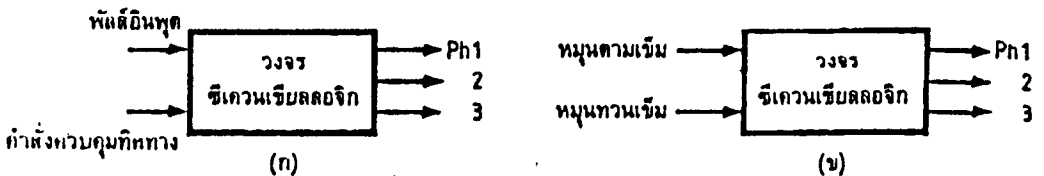
เอกสารนี้เป็นเอกสารที่สงวนไว้สำหรับการใช้งานเพื่อการศึกษาเท่านั้น ไม่อนุญาตให้นำไปใช้ประโยชน์ด้านการค้า ไม่ว่ากรณีใดๆ ทั้งสิ้น อีกทั้งห้ามมิให้ตัดแปลงเนื้อหาและต้องอ้างอิงถึงเจ้าของเอกสารทุกครั้งที่มีการนำไปใช้



รูปที่ 43 บล็อกไดอะแกรมของระบบควบคุมสเต็ปปีงมอเตอร์

วงจรซีเควนเหลี่ยมลอจิก

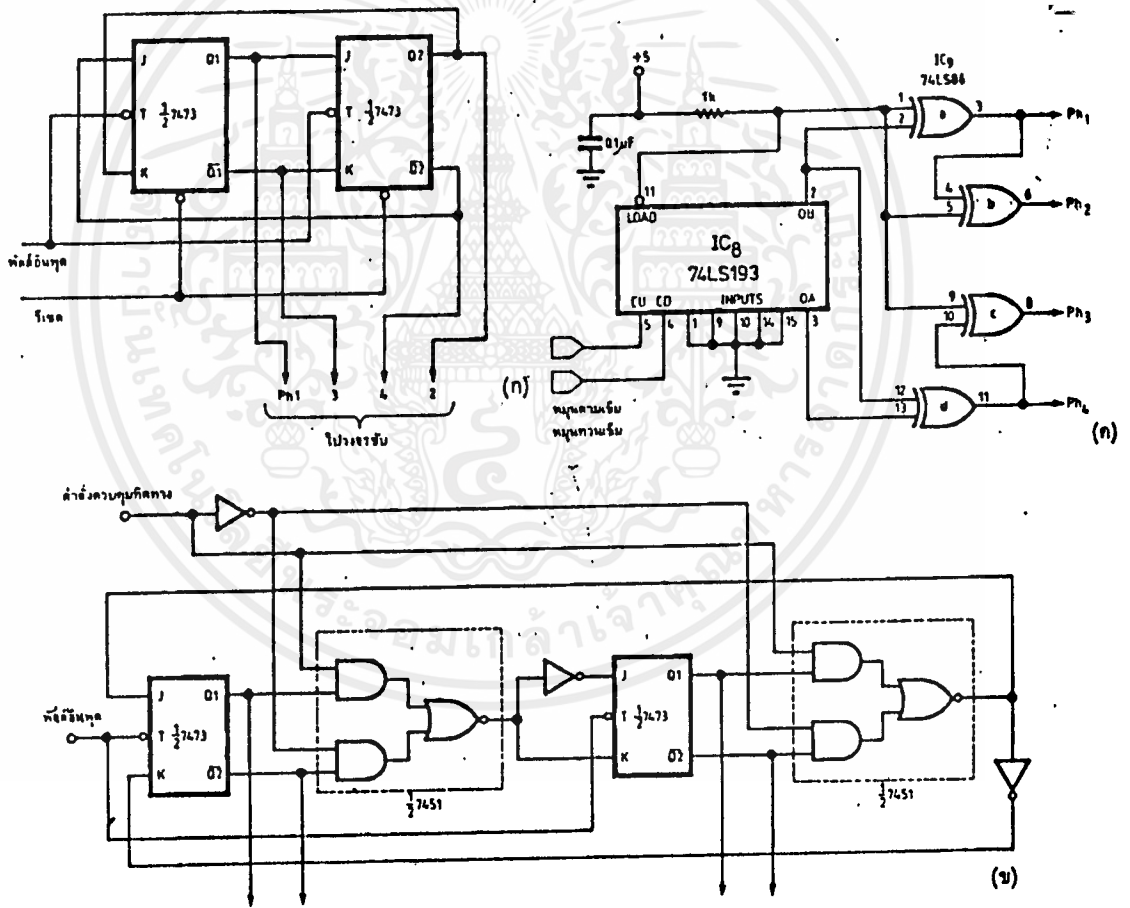
การออกแบบวงจรซีเควนเหลี่ยมลอจิกนั้น ความแตกต่างของวงจรขึ้นอยู่กับว่า ผู้ออกแบบจะเลือกใช้ไอซีประเภทใด มาใช้ในวงจร วิธีการกระตุ้นเฟส จำนวนเฟสของสเต็ปปีงมอเตอร์ และยังรวมถึงจุดประสงค์ของการใช้สเต็ปปีงมอเตอร์ ว่าต้องการใช้งานเฉพาะทิศทางเดียวหรือสองทิศทาง ซึ่งในการใช้งานแบบสองทิศทาง ก็ยังสามารถแบ่งออกได้เป็น 2 แบบ ดังรูปที่ 44 จะเห็นว่าแบบแรกนั้น รับอินพุตเข้าทางหนึ่ง และรับคำสั่งทิศทางอีกทางหนึ่ง สำหรับในแบบที่สองนั้นก็มียินพุตอยู่ 2 ทางเช่นกัน แต่จะรับพัลส์อินพุตทั้งสองทางไม่พร้อมกัน ขึ้นอยู่กับว่าต้องการใช้งานในทิศทางไหน



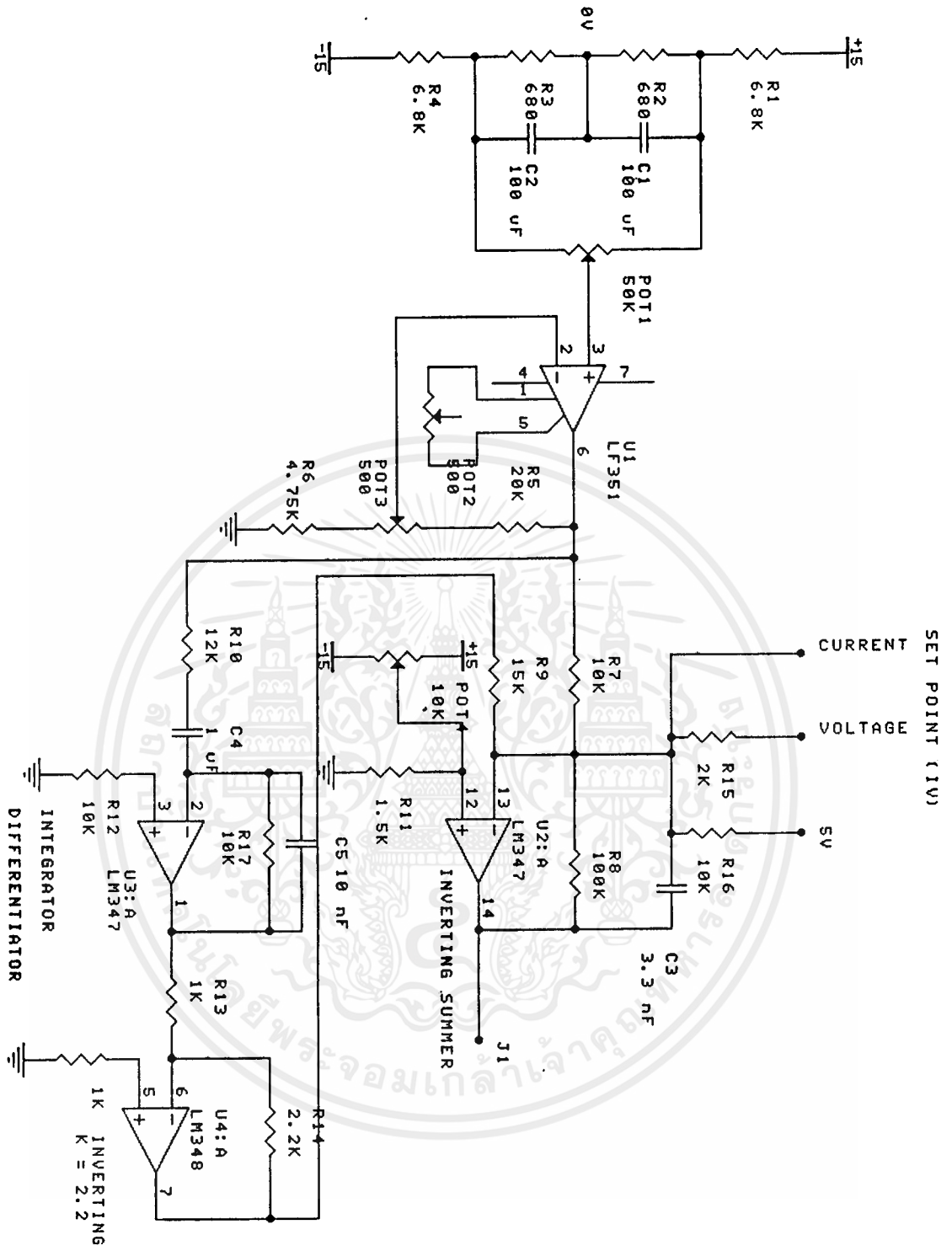
รูปที่ 44 แบบของซีเควนเหลี่ยมลอจิกสองทิศทางทั้ง 2 แบบ

เอกสารนี้เป็นเอกสารที่สงวนไว้สำหรับการใช้งานเพื่อการศึกษาเท่านั้น ไม่อนุญาตให้นำไปใช้ประโยชน์ด้านการค้า ไม่ว่าจะกรณีใดๆ ทั้งสิ้น อีกทั้งห้ามมิให้ตัดแปลงเนื้อหาและต้องอ้างอิงถึงเจ้าของเอกสารทุกครั้งที่มีการนำไปใช้

ตัวอย่างสำหรับวงจรซีควเอนเซียลลอจิก แสดงดังในรูปที่ 45 ทั้ง 3 วงจรจะใช้สำหรับสเตปปีงมอเตอร์ที่มี 4 เฟส และมีวิธีการกระตุ้นเฟสเป็นแบบเฟลคู้ สำหรับรูปที่ 45 (ก) ประกอบด้วย J-K ฟลิปฟลอป 2 ตัว มีการใช้งานเฉพาะทิศทางเดียวเท่านั้น ส่วนในรูปที่ 45 (ข) มีการใช้ลอจิกเพิ่มเข้ามาด้วย ซึ่งก็เปรียบได้กับบล็อกในรูปที่ 44 (ก) ส่วนในรูปที่ 45 (ค) จะใช้ไอซีนับขึ้น/ลง แบบเลขฐานสองและลอจิกเกต เพื่อแยกอินพุตในการควบคุมทิศทาง ซึ่งก็สามารถเปรียบได้กับบล็อกในรูปที่ 44 (ข)

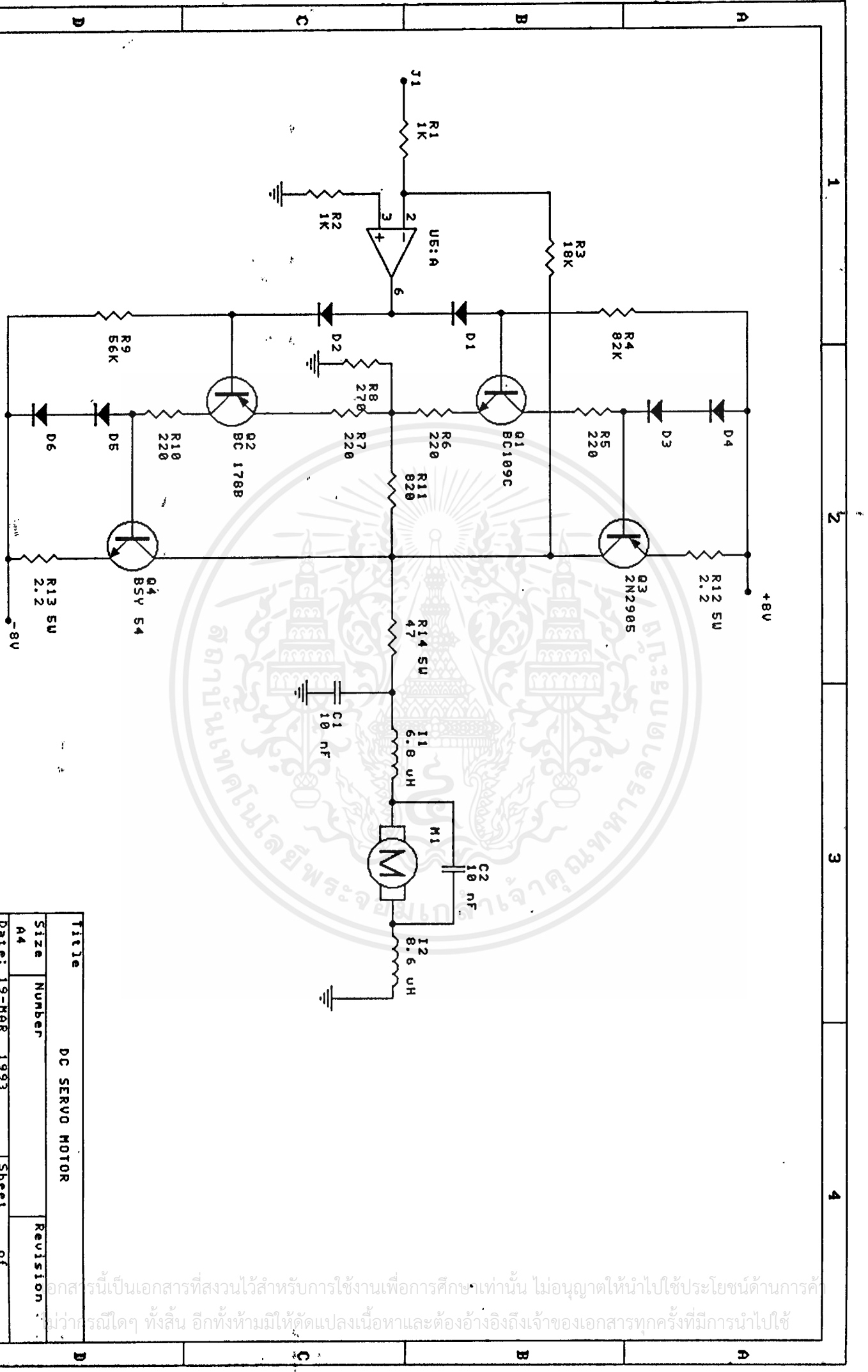


รูปที่ 45 วงจรซีควเอนเซียลลอจิก



Title		DC SERVO MOTOR	
Size	Number	Revision	
A4			
Date:	19-MAR 1993	Sheet	of
File:	A:VPHUEN6/1	Drawn	Et:

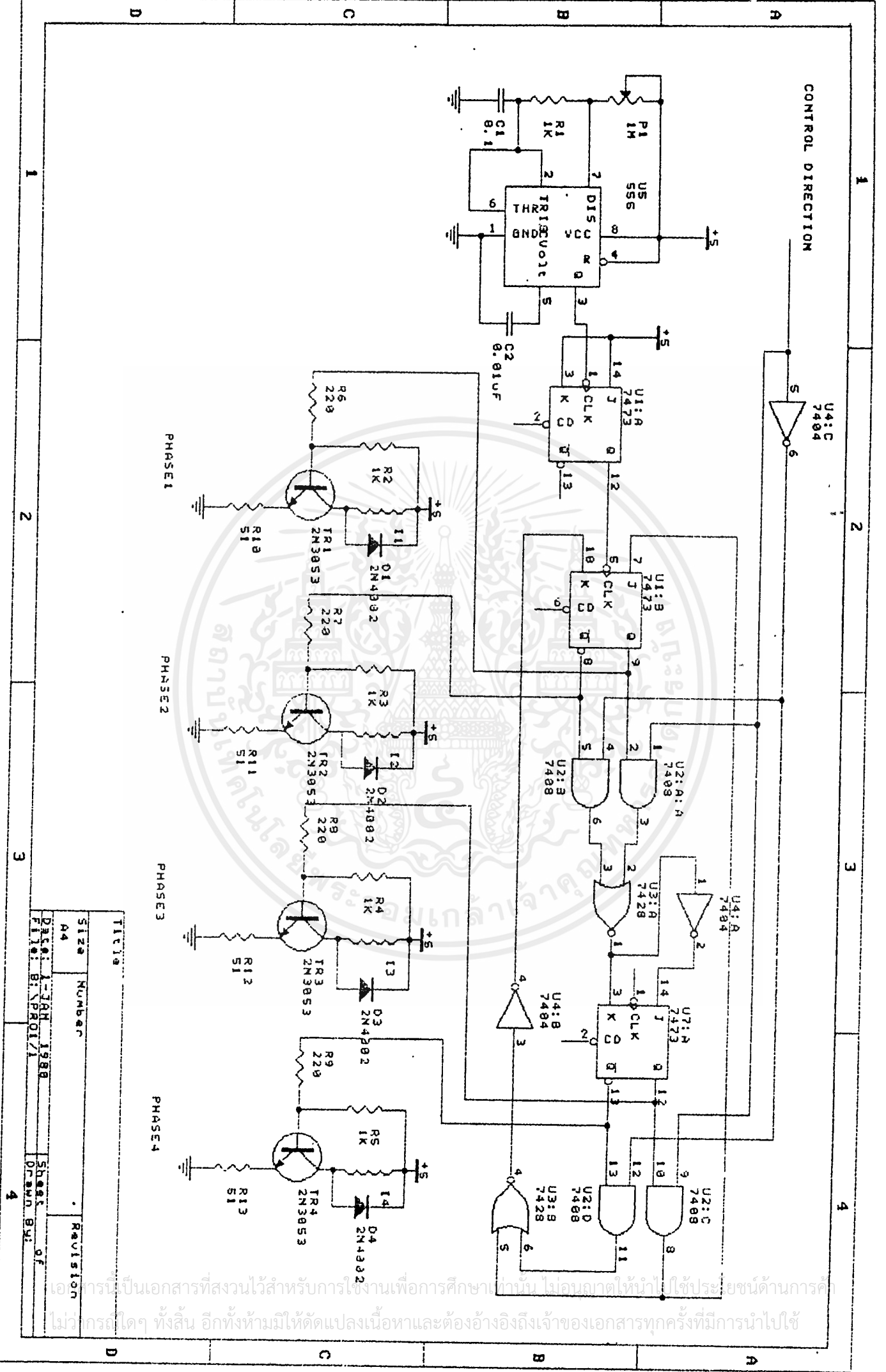
เอกสารนี้เป็นเอกสารที่สงวนไว้สำหรับการใช้งานเพื่อการศึกษาเท่านั้น ไม่อนุญาตให้นำไปใช้ประโยชน์ด้านการค้า
 ใดๆ ทั้งสิ้น อีกทั้งห้ามมิให้ดัดแปลงเนื้อหาและต้องอ้างอิงถึงเจ้าของเอกสารทุกครั้งที่มีการนำไปใช้



1 2 3 4

Title		DC SERVO MOTOR	
Size	Number	Revision	
A4			
Date: 19-MAR-1993	File: 0:\PHUEN6271	Sheet	of
		Drawn	By:

เอกสารนี้เป็นเอกสารที่สงวนไว้สำหรับการใช้งานเพื่อการศึกษาเท่านั้น ไม่อนุญาตให้นำไปใช้ประโยชน์ด้านการค้า
 ไม่ว่ากรณีใดๆ ทั้งสิ้น อีกทั้งห้ามมิให้ดัดแปลงเนื้อหาและต้องอ้างอิงถึงเจ้าของเอกสารทุกครั้งที่มีการนำไปใช้



Title		Revision	
Size	Number		
A4			
Date: A-24H 1988		Sheet	
File: B:\PROJ\1		Drawn By: of	

เอกสารนี้เป็นเอกสารที่สงวนไว้สำหรับการใช้งานเพื่อการศึกษาเท่านั้น ไม่อนุญาตให้นำไปใช้ประโยชน์ด้านการค้า
 ไม่ว่ากรณีใดๆ ทั้งสิ้น อีกทั้งห้ามมิให้คัดลอกเนื้อหาและต้องอ้างอิงถึงเจ้าของเอกสารทุกครั้งที่มีการนำไปใช้

อธิบายวงจรที่ใช้ในการทดลอง

จากวงจร อธิบายการทำงานของวงจรได้ดังนี้

โพเทนทิโอมิเตอร์ที่สมดุลกัน (Balancing POT) : ทำหน้าที่เป็นโพเทนทิโอมิเตอร์ตรวจจับ (potentiometer detect) ตำแหน่งของมอเตอร์

ความถูกต้องของตำแหน่งนั้น ขึ้นอยู่กับความเป็นเชิงเส้นและความละเอียดของโพเทนทิโอมิเตอร์ (potentiometer) เป็นอย่างมาก

โพเทนทิโอมิเตอร์ที่สมดุลกัน (Balancing POT) และความต้านทานที่มีค่าเป็น 638 โอห์มทั้งสองตัวอยู่ในรูปของวงจรบริดจ์ (Bridge) ที่มีแรงดันประมาณ 2.16 VDC คือ +1.08 VDC

ค่าพิสัยที่ใช้ในช่วง + 1 VDC จากโพเทนทิโอมิเตอร์ (Balancing POT)

ค่าที่ได้จะถูกส่งให้กับวงจรขยายที่เป็นค่าจริงโดยสัดส่วน (Proportional actual value amplifier) (U_1) ซึ่งอยู่ในรูปวงจรรขยายไม่กลับเฟส (non - inverting amplifier) ซึ่งมีค่าเกนเป็น 5.2

เอาต์พุทของ U_1 จะถูกส่งต่อให้ U_2 ซึ่งเป็นวงจรรขยายเซอร์โว (Servo Amplifier) ในรูปวงจรรขยายรวมกันแบบกลับเฟส (inverting summer amplifier) ซึ่งจะเปรียบเทียบกับค่าที่ได้จาก U_1 และค่าตั้งเอาไว้ (set point)

ค่าที่ตั้งไว้ (set point) จะถูกส่งในรูปแรงดันจะต้องผ่านค่าความต้านทาน 10 K หรือส่งเป็นกระแสไฟฟ้ที่มีค่า $10.4 \% 10K = 1.04 \text{ mA}$

ค่าเก็บประจุมีค่า 3.3 nF จะจำกัด ความถี่ของวงจรรขยายให้มีค่าประมาณ 480 Hz

U_2 ทำหน้าที่ตรวจจับ (detect) การเปลี่ยนตำแหน่งของมอเตอร์ต่อเวลาอยู่ในรูปวงจรแตกต่าง (Differentiator) และวงจรรอินทิเกรเตอร์ (Integrator) ถ้ามอเตอร์หมุนให้โพเทนทิโอมิเตอร์ที่มีค่าสมดุล (Balancing POT) เคลื่อนที่ครบสเกลใน 1 วินาที จะมีค่าความชันเท่ากับ 2 V/sec (10.4 V/sec ของ U_1) มีผลทำให้เกิดเอาต์พุทของ U_2 มีค่าเท่ากับ 104 mV แล้วจะถูกขยายต่อด้วย U_3 ด้วยค่าเกน 2.2

ค่าเก็บประจุมีค่าเป็น 10 nF และ 1 μF ยังเป็นตัวกำหนดค่าเกนของกระแสสลับ (AC) ด้วย $X_C = 10_n / X_{C_{\mu}}$ เอาต์พุทของวงจรรขยาย และ บูสเตอร์ (Booster) แบบดึงดัน (Push Pull) ทำหน้าที่เป็น V-I

ในส่วนวงจรขั้วสแต็ปมอเตอร์

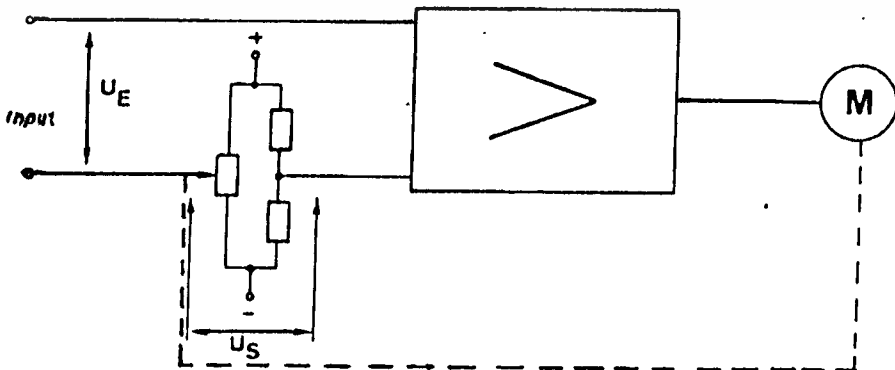
ไอซีไทม์เมอร์ 555 ทำหน้าที่เป็นตัวให้สัญญาณนาฬิกาโดยมี J-K ฟลิปฟลอปเป็นตัวทำให้ตัวไอซีเคิล(Duty Cycle)เป็น 50% วงจรซีเควนเซียลประกอบด้วย ไอซี J-K ฟลิปฟลอป 7473 ไอซี 7451และ7404 เป็นตัวกำหนดทิศทาง การหมุน การขั้วจะขั้วแบบกระตุ้นทีละ 2 เฟส ซึ่งจะได้กำลังและความเรียบของการหมุนที่ดีกว่าแบบกระตุ้นแบบเฟสเดียว

ผลการทดลองและสรุปการทดลอง

เมื่อเราลัดวงจรที่ทางด้านอินพุททำให้โพเทนทิโอมิเตอร์ไม่สมดุล เซอร์โวแอมป์จะถูกจับโดยผลต่างของศักดัด้าที่ปรากฏขึ้นมาที่วงจรมอเตอร์ ดังนั้นมอเตอร์กระแสตรงจะเริ่มหมุนและทำให้โพเทนทิโอมิเตอร์เปลี่ยนแปลงผลต่างของศักด้า ถ้ามอเตอร์เกิดการโอเวอร์ชูท ระบบจะหยุดและจะถูกขั้วกลับด้านไปสู่จุดสมดุลย์ ขณะนี้ทำให้เอาท์พุทของเซอร์โวแอมป์เป็นศูนย์และมอเตอร์หยุดหมุนและศักด้าคร่อมบริดจ์เป็นศูนย์ ถ้ามีการใส่อินพุทศักด้าที่อินพุทถูกขยายและขั้วมอเตอร์ทำให้โพเทนทิโอมิเตอร์เคลื่อนที่จนกระทั่งศักด้า U_E และศักด้าอินพุท U_E มีขนาดเท่ากันแต่ขั้วต่างกันทำให้เอาท์พุทของเซอร์โวแอมป์เป็นศูนย์

$$\Delta U_E - \Delta U_S = 0$$

ส่วนสแต็ปมอเตอร์จะหมุนไปตามทิศที่กำหนดโดยลอจิกและความเร็วของมอเตอร์ขึ้นกับสัญญาณนาฬิกาที่ป้อนให้แก่วงจร ดังรูป



ข้อเสนอแนะ

ในการทดลองนี้ใช้มอเตอร์กระแสตรงธรรมดาไม่ได้ใช้เซอร์โวมอเตอร์จริงๆ จึงทำให้เกิดโอเวอร์ชูลง เมื่อนำไปใช้งานจริง จึงควรนำไปใช้กับเซอร์โวมอเตอร์จะได้ผลที่ดีกว่า

สเตรปมอเตอร์ควรรีไซซ์ที่ความถี่สูงกว่า 20 Hz เนื่องจากความถี่ที่ต่ำเกินไปจะทำให้การหมุนของมอเตอร์เกิดการกระตุกไม่เรียบ



กิติกรรมประกาศ

การทำปริญญานิพนธ์ในครั้งนี้ที่ประสบผลสำเร็จก็เนื่องมาจาก อาจารย์สิงห์ทอง พัฒนเศรษฐานนท์ ที่เป็นอาจารย์ที่ปรึกษาได้ให้ความรู้ และคำแนะนำต่างๆแก่ผู้เขียนไว้เป็นอย่างดี และขอบคุณเพื่อนๆ น้องๆที่ได้ให้ความช่วยเหลือ และคอยเป็นกำลังใจในการทำปริญญานิพนธ์



เอกสารนี้เป็นเอกสารที่สงวนไว้สำหรับการใช้งานเพื่อการศึกษาเท่านั้น ไม่อนุญาตให้นำไปใช้ประโยชน์ด้านการค้า ไม่ว่าจะกรณีใดๆ ทั้งสิ้น อีกทั้งห้ามมิให้ดัดแปลงเนื้อหาและต้องอ้างอิงถึงเจ้าของเอกสารทุกครั้งที่มีการนำไปใช้

เอกสารอ้างอิง

- [1] J.MICHAEL JACOB, "Industrial Control Electronics Applications and Design" Prentice-Hall,1989
- [2] Arthur H.Seidman, "Integrated Circuits Application Handbook" Wiley,1983
- [3] KATSUHIKO OGATA, "MODERN CONTROL ENGINEERING"Second edition, Printice Hall,1990
- [4] TAKASHI KENJO,"stepping Motors and thier Microprocessor Controls"OXFORD 1984
- [5] โยชิโน เปรมปราณีรัชต์ "ระบบเซอร์โวและอิเล็กทรอนิกส์คอนโทรลมอเตอร์" สถาบันเทคโนโลยีพระจอมเกล้าเจ้าคุณทหารลาดกระบัง